

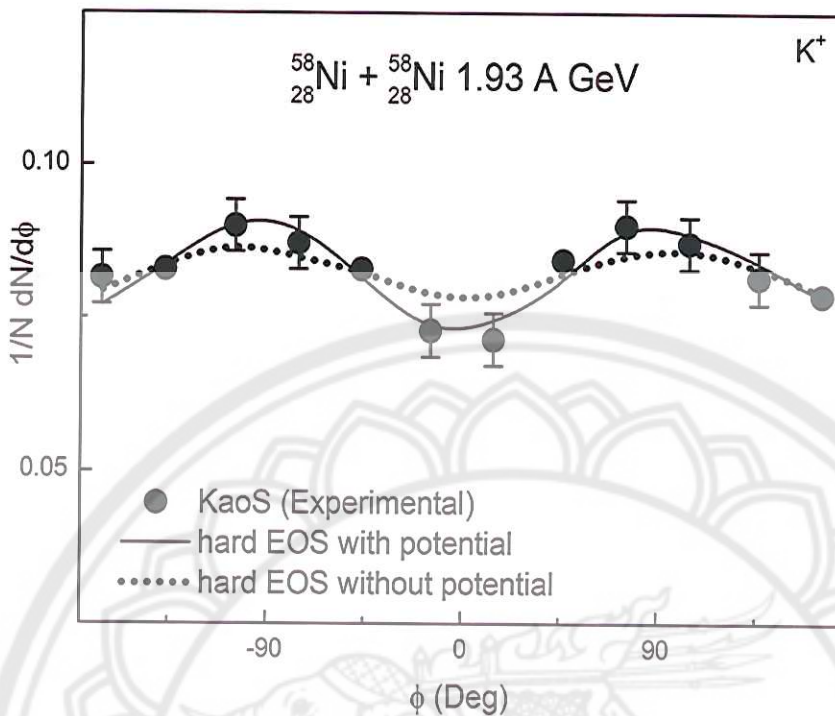
## บทที่ 4

### ผลการวิจัย

#### ผลการคำนวณการกระจายอะซิมูทธอลของ $K^+$

ผลของการคำนวณการกระจายอะซิมูทธอลของ  $K^+$  ของ  $K^+$  ของอันตรกิริยาการชนของ  $^{58}_{28}Ni + ^{58}_{28}Ni$  ที่ระดับพลังงาน  $1.93 \text{ A GeV}$  แสดงข้อมูลในภาพ 13 14 15 16 และภาพ 17 โดยใช้สมการสถานะแบบอ่อน และสมการสถานะแบบแข็ง คำนวณค่า  $\left( \frac{1}{N} \frac{dN}{d\phi} \right)$  เทียบกับมุม  $\phi$  โดยค่าการกระจายอะซิมูทธอลมีค่าเพิ่มขึ้นเมื่อมุม  $\phi = \pm 90^\circ$  ซึ่งทำใหอนุภาค  $K^+$  มีระนาบตั้งจากกับระนาบการชน ค่าการไฟล์เชิงวารี  $v_2 < 0$  ดังตารางที่ 2 และ 3 ซึ่งหมายความว่ามีการลดปล่อยอนุภาค  $K^+$  ออกมาก มีระนาบตั้งจากกับระนาบปฏิกิริยาของการชนอนุภาค ซึ่งผลที่ได้เทียบกับการทดลองของกลุ่ม KaoS ที่ห้องปฏิบัติการชนไอนอนหนักโดยแสงซินโครตรอน ที่เมือง Darmstadt ประเทศเยอรมัน โดยใช้ลำของ  $^{197}_{79}Au$  พลังงาน  $1.50 \text{ A GeV}$  เข้าชนเป้า  $^{197}_{79}Au$  ( $0.96 \text{ g/cm}^2$ ) และใช้ลำ  $^{58}_{28}Ni$  พลังงาน  $1.93 \text{ A GeV}$  เข้าชนเป้า  $^{58}_{28}Ni$  ( $0.68 \text{ g/cm}^2$ ) โดยหาขนาดของอนุภาคต่างๆ โดยใช้โมเมนตัมและเวลาของการเคลื่อนที่ จากเครื่องสนาแม่เหล็กสเปกโตรมิเตอร์ และเครื่องไฮโดรสโคปใช้สำหรับแสดงลักษณะเหตุการณ์ มุมไฮโดรสโคปมีความกว้างเพื่อใช้หาค่าศูนย์กลางของการชนจากจำนวนของอนุภาคที่มีประจุที่วัดได้ในช่วงมุมเชิงข้อ (polar angle) ในช่วง  $12^\circ < \theta_{Lab} < 48^\circ$  การกำหนดทิศทางของระนาบเหตุการณ์สร้างจากมุมการปล่อยอะซิมูทธอลของประจุไปรเจกไตล์โดยวิธีการส่งผ่านโมเมนตัม การหาขนาดของอนุภาคต่างๆ ที่เกิดขึ้นถูกค้นพบจากพลังงานที่สูญเสียของอนุภาค และเวลาของการเคลื่อนที่ ซึ่งวัดด้วยไฮโดรสโคปซึ่งห่างจากเป้า 7 เมตร จากมุมเชิงข้อระหว่าง  $0.5^\circ$  และ  $11^\circ$

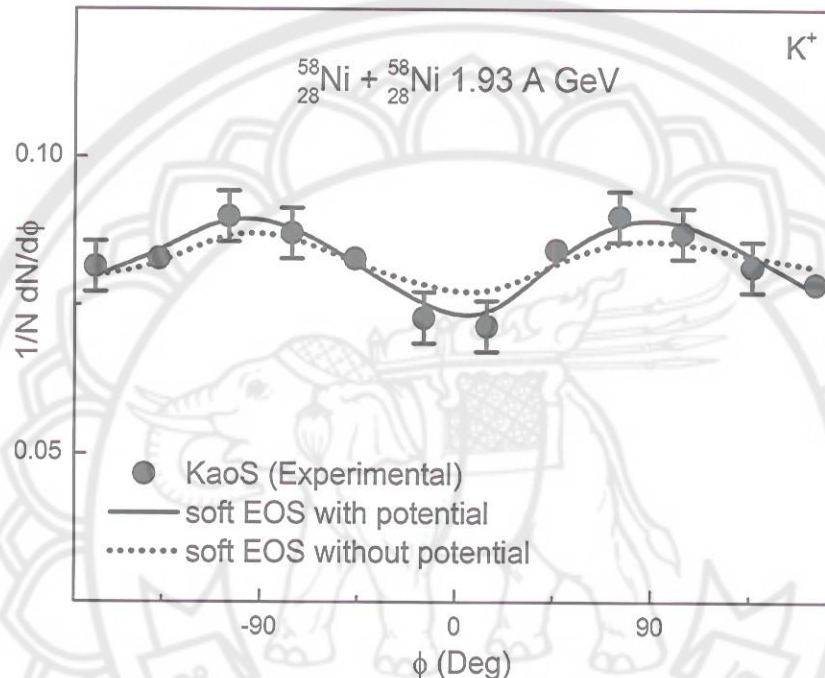
กราฟผลการคำนวณการกระจายอะซิมูทธอลของ  $K^+$  ของอันตรกิริยาการชนของ  $^{58}_{28}Ni + ^{58}_{28}Ni$  ที่พลังงาน  $1.93 \text{ A GeV}$  แสดงข้อมูลดังภาพ 13 14 15 16 และ 17 โดยใช้แบบจำลอง QMD โดยผลการคำนวณการรวมศักย์ ( $K^+ N$ ) ในตัวกลาง แสดงด้วยเส้นทึบ และการคำนวณโดยไม่รวมศักย์ ( $K^+ N$ ) แสดงด้วยเส้นประ เทียบกับผลการทดลองของ KaoS แสดงในสัญลักษณ์วงกลมทึบ



ภาพ 13 การคำนวณการกระจายอะซิมูททอลของการเกิดอนุภาค  $K^+$  เทียบกับมุม  $\phi$  จากปฏิกริยาการชนของ  $^{58}_{28}\text{Ni} + ^{58}_{28}\text{Ni}$  ที่พลังงาน  $1.93 \text{ A GeV}$  โดยใช้พารามิเตอร์ต่อกกระหบ  $3.8 \text{ fm} < b < 6.5 \text{ fm}$  และค่าแรพิดิตี้  $0.3 < y / y_{beam} < 0.7$  และไม่มีเมนตัมส่งผ่านมีค่า  $0.2 < p_t < 0.8 \text{ GeV/c}$  โดยสัญลักษณ์วงกลมทึบแสดงผลการทดลองของ KaoS [2] เทียบกับเส้นทึบแสดงผลการคำนวณโดยใช้สมการสถานะนิวเคลียร์แบบแข็งโดยรวมศักย์ของเคออน-นิวคลีอ่อน ( $K^+N$ ) และเส้นประแสดงผลการคำนวณโดยใช้สมการสถานะนิวเคลียร์แบบแข็งโดยไม่รวมศักย์ของเคออน-นิวคลีอ่อน ( $K^+N$ )

จากภาพ 13 เป็นการคำนวณการกระจายอะซิมูททอลของการเกิดอนุภาค  $K^+$  เทียบกับมุม  $\phi$  ด้วยปฏิกริยาการชนของ  $^{58}_{28}\text{Ni} + ^{58}_{28}\text{Ni}$  ที่ระดับพลังงาน  $1.93 \text{ A GeV}$  โดยใช้พารามิเตอร์ต่อกกระหบ  $3.8 \text{ fm} < b < 6.5 \text{ fm}$  และค่าแรพิดิตี้  $0.3 < y / y_{beam} < 0.7$  และไม่มีเมนตัมส่งผ่านมีค่า  $0.2 < p_t < 0.8 \text{ GeV/c}$  ตามลำดับโดยการคำนวณทางทฤษฎีด้วยสมการสถานะแบบแข็งที่รวมศักย์และไม่รวมศักย์ของเคออน-นิวคลีอ่อน ( $K^+N$ ) แสดงให้เห็นว่าการรวมศักย์ของเคออน-นิวคลีอ่อน ( $K^+N$ ) ซึ่งเป็นแรงผลักสำหรับ  $K^+$  จึงทำให้  $K^+$  หลุดออกจากนิวคลีอ่อนและมีการปลดปล่อยอนุภาค  $K^+$  ออกมานอกระหว่าง (out-of-plane) ที่ความเร็วสูงยังคงและการไฟลเชิงตรงมีพิเศษร่วมกันข้ามกับนิวคลีอ่อนที่ แรพิดิตี้ projectile (projectile rapidity) และเป้า ดังนั้น

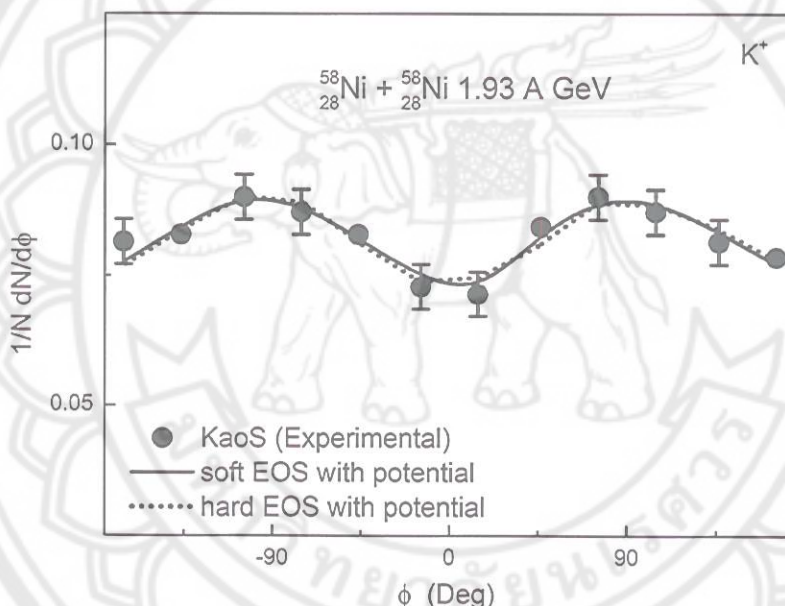
การคำนวณทางทฤษฎีของการรวมศักย์เคออน-นิวเคลียชน ( $K^+N$ ) ลงในสมการสถานะแบบแข็ง จึงทำให้ผลการคำนวณทางทฤษฎีมีแนวโน้มที่จะสอดคล้องกับผลการทดลองของ KaoS [2] ได้ดีกว่าการคำนวณโดยไม่รวมศักย์ของเคออน-นิวเคลียชน ( $K^+N$ ) ดังนั้นการกระจายอะซิมุทธอลจีนี้ใช้เป็นตัวตรวจสอบคุณสมบัติในตัวกลางของอนุภาค  $K^+$  ที่ความหนาแน่นสูง



ภาพ 14 การคำนวณการกระจายอะซิมุทธอลของการเกิดอนุภาค  $K^+$  เทียบกับมุม  $\phi$  จากปฏิกริยาการชนของ  $^{58}_{28}\text{Ni} + ^{58}_{28}\text{Ni}$  ที่พลังงาน  $1.93 \text{ A GeV}$  โดยใช้พารามิเตอร์ตอกกระหบ  $3.8 \text{ fm} < b < 6.5 \text{ fm}$  และค่าแรพิดิตี้  $0.3 < y / y_{beam} < 0.7$  และไมemen ตั้มส่งผ่านมีค่า  $0.2 < p_t < 0.8 \text{ GeV/c}$  โดยสัญลักษณ์วงกลมทึบแสดงผลการทดลองของ KaoS [2] เทียบกับเส้นทึบแสดงผลการคำนวณโดยใช้สมการสถานะนิวเคลียร์แบบอ่อนโดยรวมศักย์ของเคออน-นิวเคลียชน ( $K^+N$ ) และเส้นประแสดงผลการคำนวณโดยใช้สมการสถานะนิวเคลียร์แบบอ่อนโดยไม่รวมศักย์ของเคออน-นิวเคลียชน ( $K^+N$ )

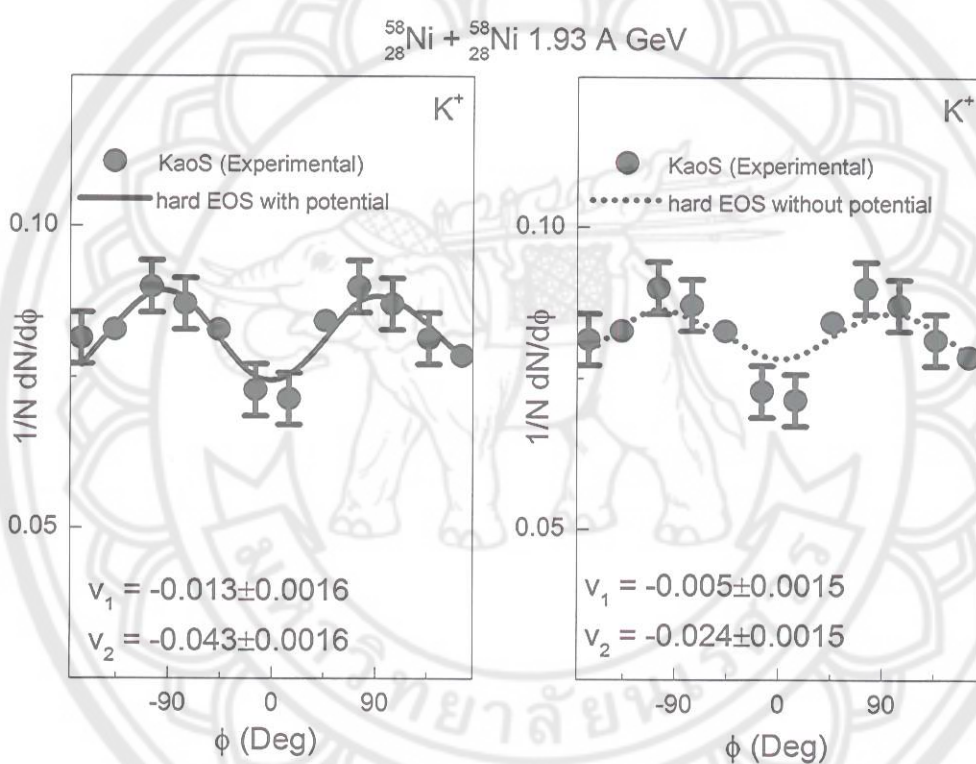
จากการคำนวณการกระจายอะซิมุทธอลของการเกิดอนุภาค  $K^+$  เทียบกับมุม  $\phi$  ด้วยปฏิกริยาการชนของ  $^{58}_{28}\text{Ni} + ^{58}_{28}\text{Ni}$  ที่ระดับพลังงาน  $1.93 \text{ A GeV}$  โดยใช้พารามิเตอร์ตอกกระหบ  $3.8 \text{ fm} < b < 6.5 \text{ fm}$  และค่าแรพิดิตี้  $0.3 < y / y_{beam} < 0.7$  และไมemen ตั้มส่งผ่านมีค่า

$0.2 < p_t < 0.8 \text{ GeV}/c$  ตามลำดับโดยการคำนวณทางทฤษฎีด้วยสมการสถานะแบบแข็งที่รวมศักย์และไม่รวมศักย์ของเคอ่อน-นิวเคลียน ( $K^+N$ ) แสดงให้เห็นว่าการรวมศักย์ของเคอ่อน-นิวเคลียน ( $K^+N$ ) ซึ่งเป็นแรงผลักสำหรับ  $K^+$  จึงทำให้  $K^+$  หลุดออกจากนิวเคลียนและมีการปลดปล่อยอนุภาค  $K^+$  ออกมานอกระนาบ (out-of-plane) ที่ความเร็วศูนย์กลางและการเหลียงตรงมีพิเศษตรงกันข้ามกับนิวเคลียนที่ แรพิดิตี้ projectile (projectile rapidity) และเป้า ดังนั้น การคำนวณทางทฤษฎีของการรวมศักย์เคอ่อน-นิวเคลียน ( $K^+N$ ) ลงในสมการสถานะแบบอ่อน จึงทำให้ผลการคำนวณทางทฤษฎีมีแนวโน้มที่จะสอดคล้องกับผลการทดลองของ KaoS [2] ได้ดีกว่าการคำนวณโดยไม่รวมศักย์ของเคอ่อน-นิวเคลียน ( $K^+N$ ) ดังนั้นการกระจายอะซิมุทธอลจึงใช้เป็นตัวตรวจวัดคุณสมบัติในตัวกลางของอนุภาค  $K^+$  ที่ความหนาแน่นสูง



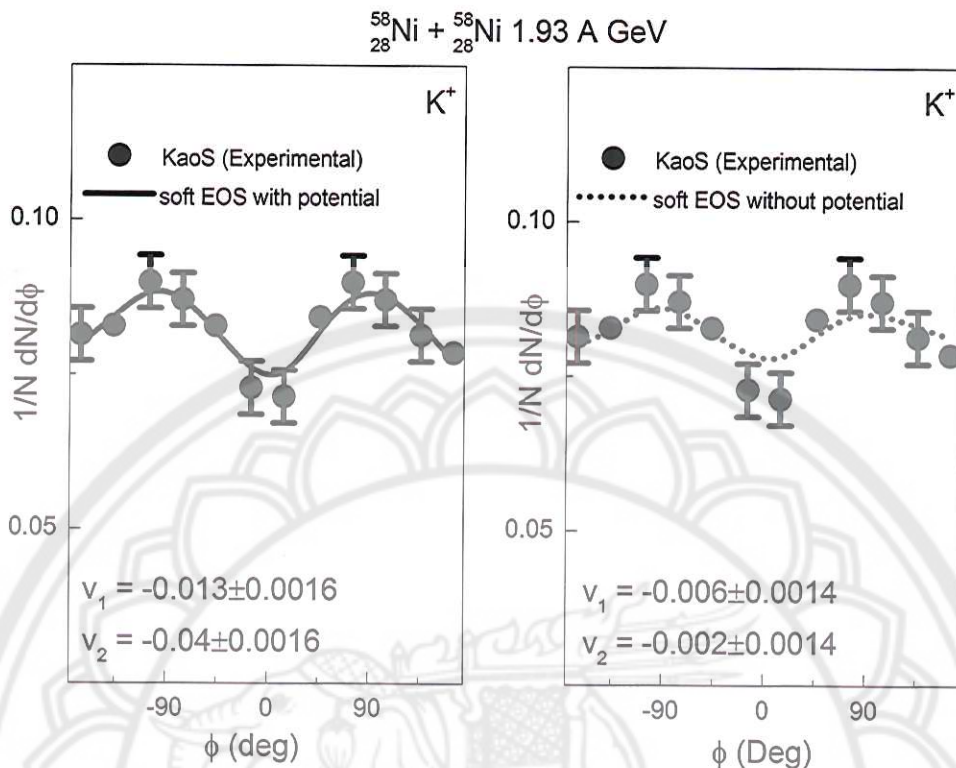
ภาพ 15 การคำนวณการกระจายอะซิมุทธอลของการเกิดอนุภาค  $K^+$  เทียบกับ มุม  $\phi$  จากปฏิกิริยาการชนของ  $^{58}_{28}\text{Ni} + ^{58}_{28}\text{Ni}$  ที่พลังงาน  $1.93 \text{ A GeV}$  โดยใช้พารามิเตอร์ตักษะทบ  $3.8 \text{ fm} < b < 6.5 \text{ fm}$  และค่าแรพิดิตี้  $0.3 < y / y_{beam} < 0.7$  และโมเมนตัมส่งผ่านมีค่า  $0.2 < p_t < 0.8 \text{ GeV}/c$  โดยสัญลักษณ์วงกลมทึบแสดงผลการทดลองของ KaoS [2] เทียบกับเส้นทึบแสดงผลการคำนวณโดยใช้สมการสถานะนิวเคลียร์แบบอ่อนโดยรวมศักย์ของเคอ่อน-นิวเคลียน ( $K^+N$ ) และเส้นประแสดงผลการคำนวณโดยใช้สมการสถานะนิวเคลียร์แบบแข็งโดยรวมศักย์ของเคอ่อน-นิวเคลียน ( $K^+N$ )

จากภาพ 15 เป็นการคำนวณการกระจายอะซิมูททอลของการเกิดอนุภาค  $K^+$  เทียบกับมุม  $\phi$  ด้วยปฏิกิริยาการชนของ  $^{58}_{28}\text{Ni} + ^{58}_{28}\text{Ni}$  ที่ระดับพลังงาน  $1.93 \text{ A GeV}$  โดยใช้พารามิเตอร์ต่อกลบที่  $3.8 \text{ fm} < b < 6.5 \text{ fm}$  และค่าแรพิดิตี้  $0.3 < y / y_{beam} < 0.7$  และไมemen ตั้งส่งผ่านมีค่า  $0.2 < p_t < 0.8 \text{ GeV/c}$  ผลจากการคำนวณทางทฤษฎีด้วยสมการสถานะแบบแข็ง จะมีค่าใกล้เคียงกับสมการสถานะแบบอ่อน และเมื่อเพิ่มการคำนวณค่าศักย์ของเคอน-นิวเคลียน ( $K^+N$ ) ลงในสมการสถานะแบบอ่อนและสมการสถานะแบบแข็ง จะทำให้ผลการคำนวณมีแนวโน้มที่จะลดคล่องกับผลการทดลองของ KaoS [2]



ภาพ 16 การคำนวณการกระจายอะซิมูททอลของการเกิดอนุภาค  $K^+$  เทียบกับมุม  $\phi$  จากปฏิกิริยาการชนของ  $^{58}_{28}\text{Ni} + ^{58}_{28}\text{Ni}$  ที่พลังงาน  $1.93 \text{ A GeV}$  โดยใช้พารามิเตอร์ต่อกลบที่  $3.8 \text{ fm} < b < 6.5 \text{ fm}$  และค่าแรพิดิตี้  $0.3 < y / y_{beam} < 0.7$  และไมemen ตั้งส่งผ่านมีค่า  $0.2 < p_t < 0.8 \text{ GeV/c}$  โดยสัญลักษณ์วงกลมทึบแสดงผลการทดลองของ KaoS [2] เทียบกับเส้นทึบแสดงผลการคำนวณโดยใช้สมการสถานะนิวเคลียร์แบบแข็งโดยรวมศักย์ของเคอน-นิวเคลียน ( $K^+N$ ) (ภาพซ้าย) และเส้นประแสดงผลการคำนวณโดยใช้สมการสถานะนิวเคลียร์แบบแข็งโดยไม่รวมศักย์ของเคอน-นิวเคลียน ( $K^+N$ ) (ภาพขวา)

จากภาพ 16 เป็นการคำนวณการกระจายอะซิมูทธอลของการเกิดอนุภาค  $K^+$  เทียบกับมุม  $\phi$  ด้วยปฏิกริยาการชนของ  $^{58}_{28}Ni + ^{58}_{28}Ni$  ที่ระดับพลังงาน  $1.93 A \text{ GeV}$  โดยใช้พารามิเตอร์ตอกратทบ  $3.8 \text{ fm} < b < 6.5 \text{ fm}$  และค่าแรปิดิตี้  $0.3 < y / y_{beam} < 0.7$  และโมเมนตัมส่งผ่านมีค่า  $0.2 < p_t < 0.8 \text{ GeV/c}$  ผลจากการคำนวณทางทฤษฎีด้วยสมการสถานะแบบแข็งของการรวมศักย์และไม่รวมศักย์ของเคออน-นิวเคลียน ( $K^+N$ ) พบร่วมกันของศักย์  $K^+N$  มีผลต่อรูปแบบการปลดปล่อยของอนุภาค  $K^+$  โดยที่ค่าการไหลเชิงวงรี ( $v_2$ ) มีค่าน้อยกว่าศูนย์จึงทำให้เกิดแรงผลักซึ่งศักย์ ( $K^+N$ ) เป็นแรงผลัก เพราะระนาบของการเกิดมีทิศตั้งฉาก (out-of-plane) กับระนาบปฏิกริยา ดังนั้นการคำนวณการไหลเชิงตรงและการไหลเชิงวงรีโดยรวมศักย์เคออน-นิวเคลียน ( $K^+N$ ) จะมีแนวโน้มสอดคล้องกับผลการทดลองของ KaoS [2] โดยค่าการไหลเชิงตรงและค่าการไหลเชิงวงรีของการรวมศักย์และไม่รวมศักย์ของเคออน-นิวเคลียน ( $K^+N$ ) จะมีค่า  $v_1 = -0.013 \pm 0.0016$   $v_2 = -0.043 \pm 0.0016$  (ภาพซ้าย) และ  $v_1 = -0.005 \pm 0.0015$   $v_2 = -0.024 \pm 0.0015$  (ภาพขวา)



ภาพ 17 การคำนวณการกระจายอะซิมูททอลของการเกิดอนุภาค  $K^+$  เทียบกับมุม  $\phi$  จากปฏิกิริยาการชนของ  $^{58}_{28}\text{Ni} + ^{58}_{28}\text{Ni}$  ที่พลังงาน 1.93 A GeV โดยใช้พารามิเตอร์ตอกกระทบ  $3.8 \text{ fm} < b < 6.5 \text{ fm}$  และค่าแรพิดิตี้  $0.3 < y / y_{beam} < 0.7$  และโมเมนตัมส่งผ่านมีค่า  $0.2 < p_t < 0.8 \text{ GeV/c}$  โดยสัญลักษณ์วงกลมทึบแสดงผลการทดลองของ KaoS [2] เทียบกับเส้นทึบแสดงผลการคำนวณโดยใช้สมการสถานะนิวเคลียร์แบบอ่อนโดยรวมศักย์ของเคอ่อน-นิวคลีอ่อน ( $K^+N$ ) (ภาพซ้าย) และเส้นประแสดงผลการคำนวณโดยใช้สมการสถานะนิวเคลียร์แบบอ่อนโดยไม่รวมศักย์ของเคอ่อน-นิวคลีอ่อน ( $K^+N$ ) (ภาพขวา)

จากภาพ 17 เป็นการคำนวณการกระจายอะซิมูททอลของการเกิดอนุภาค  $K^+$  เทียบกับมุม  $\phi$  ด้วยปฏิกิริยาการชนของ  $^{58}_{28}\text{Ni} + ^{58}_{28}\text{Ni}$  ที่ระดับพลังงาน 1.93 A GeV โดยใช้พารามิเตอร์ตอกกระทบ  $3.8 \text{ fm} < b < 6.5 \text{ fm}$  และค่าแรพิดิตี้  $0.3 < y / y_{beam} < 0.7$  และโมเมนตัมส่งผ่านมีค่า  $0.2 < p_t < 0.8 \text{ GeV/c}$  ผลจากการคำนวณทางทฤษฎีด้วยสมการสถานะแบบอ่อนของกรวยศักย์และไม่รวมศักย์ของเคอ่อน-นิวคลีอ่อน ( $K^+N$ ) พบว่าอิทธิพลของศักย์  $K^+N$  มีผลต่อรูปแบบการปลดปล่อยของอนุภาค  $K^+$  โดยที่ค่าการไฟลเซิงวารี ( $v_2$ ) มีค่าน้อยกว่าศูนย์จึงทำให้เกิดแรงผลักซึ่งศักย์  $K^+N$  เป็นแรงผลักเพราะวนานาของการเกิดมีทิศตั้งฉาก (out-of-plane) กับระนาบปฏิกิริยา

ดังนั้นการคำนวณการไฟลเชิงตรงและการไฟลเชิงวงรีโดยรวมศักย์เคอ่อน-นิวคลีอ่อน ( $K^+N$ ) จะมีแนวโน้มสอดคล้องกับผลการทดลองของ KaoS [2] โดยค่าการไฟลเชิงตรงและค่าการไฟลเชิงวงรีของการรวมศักย์และไม่รวมศักย์ของเคอ่อน-นิวคลีอ่อน ( $K^+N$ ) จะมีค่า  $v_1 = -0.013 \pm 0.0016$   $v_2 = -0.04 \pm 0.0016$  (ภาพซ้าย) และ  $v_1 = -0.006 \pm 0.0014$   $v_2 = -0.002 \pm 0.0014$  (ภาพขวา)

ตาราง 2 แสดงค่าการไฟลแบบส่งผ่าน  $v_1$  และการไฟลเชิงวงรี  $v_2$  เปรียบเทียบผลการทดลองของ KaoS [2] และผลการคำนวณโดยรวมศักย์ และไม่รวมศักย์ ( $K^+N$ )  
จากการชนของ  $^{58}_{28}\text{Ni} + ^{58}_{28}\text{Ni}$  ที่ระดับพลังงาน  $1.93 \text{ A GeV}$  โดยสมการสถานะแบบแม็กซ์

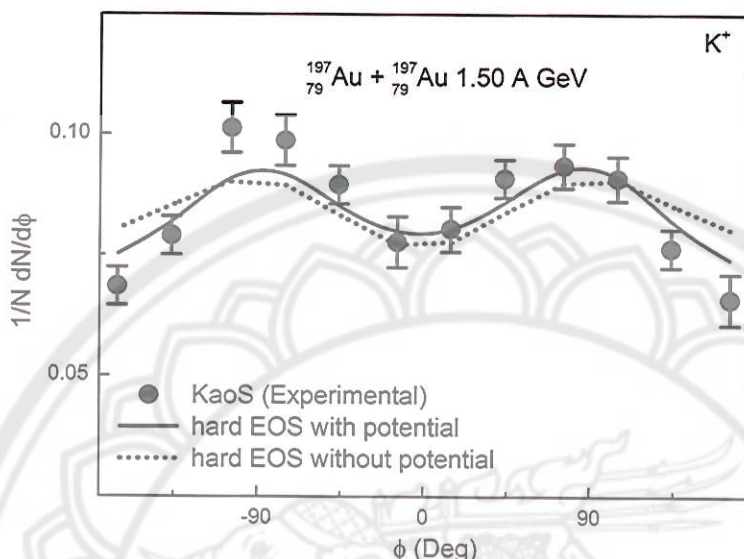
การไฟล	ผลการทดลอง	รวมศักย์ ( $K^+N$ )	ไม่รวมศักย์ ( $K^+N$ )
การไฟลเชิงตรง ( $v_1$ )	$-0.01 \pm 0.01$	$-0.013 \pm 0.0016$	$-0.005 \pm 0.0015$
การไฟลเชิงวงรี ( $v_2$ )	$-0.05 \pm 0.03$	$-0.043 \pm 0.0016$	$-0.024 \pm 0.0015$

ตาราง 3 แสดงค่าการไฟลแบบส่งผ่าน  $v_1$  และการไฟลเชิงวงรี  $v_2$  เปรียบเทียบผลการทดลองของ KaoS [2] และผลการคำนวณโดยรวมศักย์และไม่รวมศักย์ ( $K^+N$ )  
จากการชนของ  $^{58}_{28}\text{Ni} + ^{58}_{28}\text{Ni}$  ที่ระดับพลังงาน  $1.93 \text{ A GeV}$  โดยสมการสถานะแบบอ่อน

การไฟล	ผลการทดลอง	รวมศักย์ ( $K^+N$ )	ไม่รวมศักย์ ( $K^+N$ )
การไฟลเชิงตรง ( $v_1$ )	$-0.01 \pm 0.01$	$-0.013 \pm 0.0016$	$-0.006 \pm 0.0014$
การไฟลเชิงวงรี ( $v_2$ )	$-0.05 \pm 0.03$	$-0.04 \pm 0.0016$	$-0.002 \pm 0.0014$

ผลของการคำนวณการกระจายอะตอมทั่วไป  $\left( \frac{1}{N} \frac{dN}{d\phi} \right)$  ของ  $K^+$  ของอันตรกิริยาการชนของ  $^{197}_{79}\text{Au} + ^{197}_{79}\text{Au}$  ที่ระดับพลังงาน  $1.50 \text{ A GeV}$  แสดงข้อมูลในภาพ 18 19 20 21 และ 22 โดยใช้สมการสถานะแบบอ่อน และสมการสถานะแบบแม็กซ์คำนวณค่า  $\left( \frac{1}{N} \frac{dN}{d\phi} \right)$  เทียบกับมุม  $\phi$  โดยเปรียบเทียบค่ามุม  $\phi = \pm 90^\circ$  ซึ่งทำให้เห็นว่าอนุภาค  $K^+$  มีระนาบตั้งฉากกับระนาบการชนโดยใช้แบบจำลอง QMD ซึ่งผลที่ได้เทียบกับการทดลองของ KaoS ที่ห้องปฏิบัติการชนไอกอนหนักโดยแสงชีนโคตรอน ที่เมือง Darmstadt ประเทศเยอรมัน ค่าการไฟลเชิงวงรี  $v_2 < 0$  ดังตาราง 4 และ 5

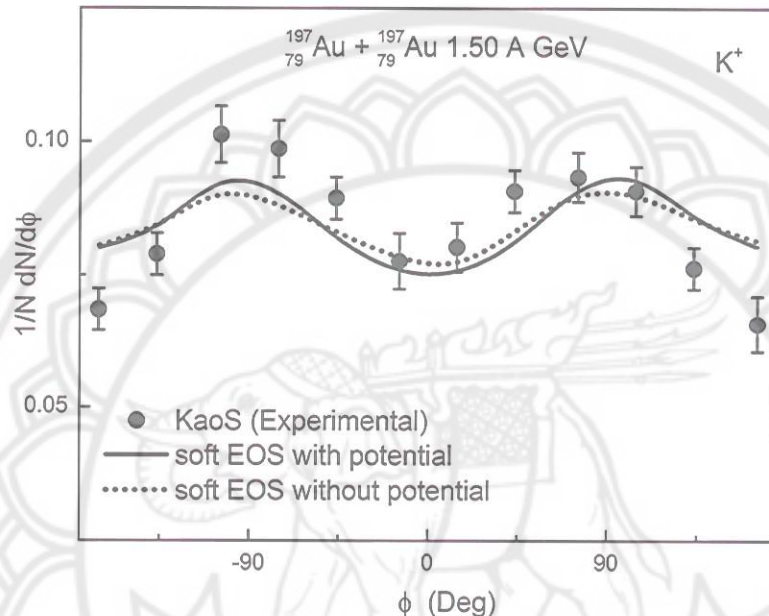
ซึ่งหมายความว่ามีการปลดปล่อยอนุภาคของ  $K^+$  ออกมากและจะมีระนาบตั้งจากกับระนาบปฏิกริยาการชนของอนุภาค



ภาพ 18 การคำนวณการกระจายอะซิมูททอลของการเกิดอนุภาค  $K^+$  เทียบกับมุม  $\phi$  จากปฏิกริยาการชนของ  $^{197}_{79}\text{Au} + ^{197}_{79}\text{Au}$  ที่พลังงาน  $1.50 \text{ A GeV}$  โดยใช้พารามิเตอร์ ตกกระหบ  $5.9 \text{ fm} < b < 10.2 \text{ fm}$  และค่าแรพิดิตี้  $0.3 < y / y_{beam} < 0.7$  และไมemen ตั้มส่งผ่านมีค่า  $0.2 < p_t < 0.8 \text{ GeV}/c$  โดยสัญลักษณ์วงกลมทึบแสดงผล การทดลองของ KaoS [2] เทียบกับเส้นทึบแสดงผลการคำนวณโดยใช้สมการ สถานะนิวเคลียร์แบบแข็งโดยรวมศักย์ของเคอน-นิวคลีอ่อน ( $K^+N$ ) และเส้นประแสดงผลการคำนวณโดยใช้สมการสถานะนิวเคลียร์แบบแข็งโดยไม่รวม ศักย์ของเคอน-นิวคลีอ่อน ( $K^+N$ )

จากการ 18 เป็นการคำนวณการกระจายอะซิมูททอลของการเกิดอนุภาค  $K^+$  เทียบกับ มุม  $\phi$  ด้วยปฏิกริยาการชนของ  $^{197}_{79}\text{Au} + ^{197}_{79}\text{Au}$  ที่ระดับพลังงาน  $1.50 \text{ A GeV}$  โดยใช้พารามิเตอร์ ตกกระหบ  $5.9 \text{ fm} < b < 10.2 \text{ fm}$  และค่าแรพิดิตี้  $0.3 < y / y_{beam} < 0.7$  และไมemen ตั้มส่งผ่านมีค่า  $0.2 < p_t < 0.8 \text{ GeV}/c$  ตามลำดับโดยการคำนวณทางทฤษฎีด้วยสมการสถานะแบบแข็งที่รวม ศักย์และไม่รวมศักย์ของเคอน-นิวคลีอ่อน ( $K^+N$ ) และแสดงให้เห็นว่าการรวมศักย์ของเคอน-นิวคลีอ่อน ( $K^+N$ ) ซึ่งเป็นแรงผลักสำหรับ  $K^+$  จึงทำให้  $K^+$  หลุดออกจากนิวคลีอ่อนและมีการ ปลดปล่อยอนุภาค  $K^+$  ออกมานอกระนาบ (out-of-plane) ที่ความเร็วศูนย์กลางและการไฟลเชิง ตรงมีพิศตรงกันข้ามกับนิวคลีอ่อนที่ แรพิดิตี้ projectile (projectile rapidity) และเป้า ดังนั้นการ

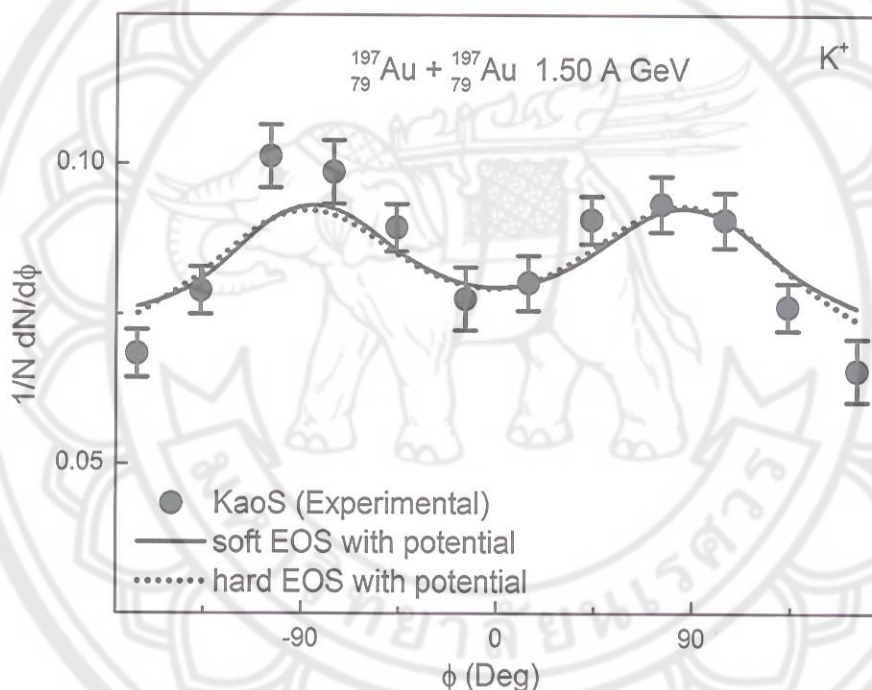
คำนวณทางทฤษฎีของการรวมศักย์เดคอน-นิวเคลียชน ( $K^+N$ ) ลงในสมการสถานะแบบแม้ง จึงทำให้ผลการคำนวณทางทฤษฎีมีแนวโน้มที่จะสอดคล้องกับผลการทดลองของ KaoS [2] ได้ดีกว่าการคำนวณโดยไม่รวมศักย์ของเดคอน-นิวเคลียชน ( $K^+N$ ) ดังนั้นการกระจายอะซิมุทธอลจิงใช้เป็นตัวตรวจวัดคุณสมบัติในตัวกลางของอนุภาค  $K^+$  ที่ความหนาแน่นสูง



ภาพ 19 การคำนวณการกระจายอะซิมุทธอลจิงของการเกิดอนุภาค  $K^+$  เทียบกับมุม  $\phi$  จากปฏิกริยาการชนของ  $^{197}_{79}\text{Au} + ^{197}_{79}\text{Au}$  ที่พลังงาน  $1.50 \text{ A GeV}$  โดยใช้พารามิเตอร์ ตากกระทบ  $5.9 \text{ fm} < b < 10.2 \text{ fm}$  และค่าแรพิดิตี้  $0.3 < y / y_{beam} < 0.7$  และโมเมนตัมส่งผ่านมีค่า  $0.2 < p_t < 0.8 \text{ GeV/c}$  โดยสัญลักษณ์วงกลมทึบแสดงผลการทดลองของ KaoS [2] เทียบกับเส้นทึบแสดงผลการคำนวณโดยใช้สมการสถานะนิวเคลียร์แบบอ่อนโดยรวมศักย์ของเดคอน-นิวเคลียชน ( $K^+N$ ) และเส้นประแสดงผลการคำนวณโดยใช้สมการสถานะนิวเคลียร์แบบอ่อนโดยไม่รวมศักย์ของเดคอน-นิวเคลียชน ( $K^+N$ )

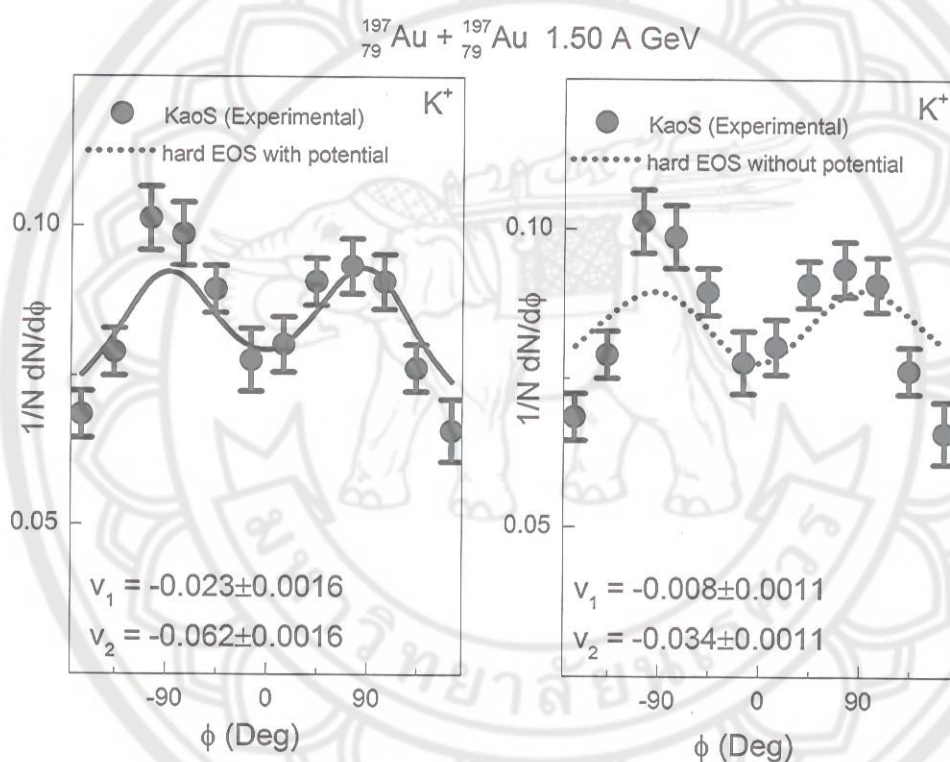
จากภาพ 19 เป็นการคำนวณการกระจายอะซิมุทธอลจิงของการเกิดอนุภาค  $K^+$  เทียบกับมุม  $\phi$  ด้วยปฏิกริยาการชนของ  $^{197}_{79}\text{Au} + ^{197}_{79}\text{Au}$  ที่ระดับพลังงาน  $1.50 \text{ A GeV}$  โดยใช้พารามิเตอร์ ตากกระทบ  $5.9 \text{ fm} < b < 10.2 \text{ fm}$  และค่าแรพิดิตี้  $0.3 < y / y_{beam} < 0.7$  และโมเมนตัมส่งผ่านมีค่า  $0.2 < p_t < 0.8 \text{ GeV/c}$  ตามลำดับโดยการคำนวณทางทฤษฎีด้วยสมการสถานะแบบอ่อนที่รวม

ศักย์และไม่รวมศักย์ของเคอน-นิวเคลียน ( $K^+N$ ) แสดงให้เห็นว่าการรวมศักย์ของ เคอน-นิวเคลียน ( $K^+N$ ) ซึ่งเป็นแรงผลักสำหรับ  $K^+$  จึงทำให้  $K^+$  หลุดออกจากนิวเคลียนและมีการปลดปล่อยอนุภาค  $K^+$  ออกมานอกระนาบ (out-of-plane) ที่ความเร็วสูงยังคงและการไฟล เริงตรงมีพิศตรงกันข้ามกับนิวเคลียนที่ แรพิดิตี้ projectile rapidity) และเป้า ดังนั้น การคำนวณทางทฤษฎีของการรวมศักย์เคอน-นิวเคลียน ( $K^+N$ ) ลงในสมการสถานะแบบอ่อน จึงทำให้ผลการคำนวณทางทฤษฎีมีแนวโน้มที่จะสอดคล้องกับผลการทดลองของ KaoS [2] ได้ดีกว่าการคำนวณโดยไม่รวมศักย์ของเคอน-นิวเคลียน ( $K^+N$ ) ดังนั้นการกระจายอะซิมูทธอล จึงใช้เป็นตัวตรวจวัดคุณสมบัติในตัวกลางของอนุภาค  $K^+$  ที่ความหนาแน่นสูง



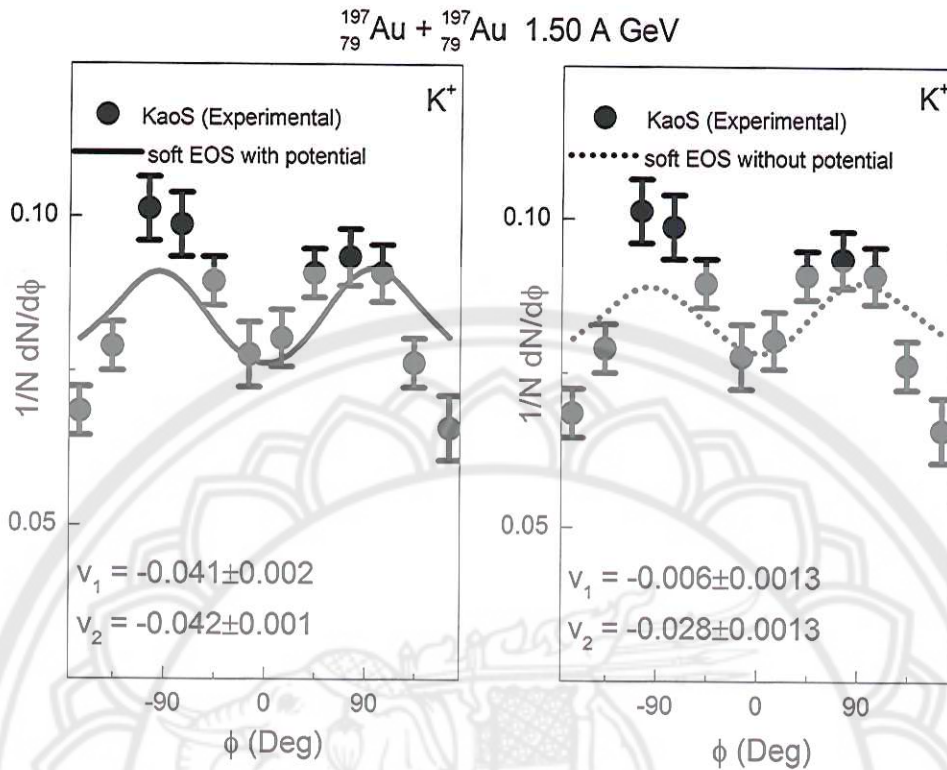
ภาพ 20 การคำนวณการกระจายอะซิมูทธอลของการเกิดอนุภาค  $K^+$  เทียบกับมุม  $\phi$  จากปฏิกิริยาการชนของ  $^{197}_{79}\text{Au} + ^{197}_{79}\text{Au}$  ที่พลังงาน  $1.50 \text{ A GeV}$  โดยใช้พารามิเตอร์ ตากกระทบ  $5.9 \text{ fm} < b < 10.2 \text{ fm}$  และค่าแรพิดิตี้  $0.3 < y / y_{beam} < 0.7$  และ ไมemen ตัมส่งผ่านมีค่า  $0.2 < p_t < 0.8 \text{ GeV}/c$  โดยสัญลักษณ์วงกลมที่บแสดงผล การทดลองของ KaoS [2] เทียบกับเส้นทึบแสดงผลการคำนวณโดยใช้สมการ สถานะนิวเคลียร์แบบอ่อนโดยรวมศักย์ของเคอน-นิวเคลียน ( $K^+N$ ) และ เส้นประแสดงผลการคำนวณโดยใช้สมการสถานะนิวเคลียร์แบบแข็งโดยรวม ศักย์ของ เคอน-นิวเคลียน ( $K^+N$ )

จากภาพ 20 เป็นการคำนวณการกระจายอะซิมูทธอลของการเกิดอนุภาค  $K^+$  เทียบกับมุม  $\phi$  ด้วยปฏิกิริยาการชนของ  $^{197}_{79}\text{Au} + ^{197}_{79}\text{Au}$  ที่ระดับพลังงาน  $1.50 \text{ A GeV}$  โดยใช้พารามิเตอร์ตากกระทบ  $5.9 \text{ fm} < b < 10.2 \text{ fm}$  และค่าแร็พิตี้  $0.3 < y / y_{beam} < 0.7$  และไม่ เมนตัมส่งผ่านมีค่า  $0.2 < p_t < 0.8 \text{ GeV/c}$  ผลจากการคำนวณทางทฤษฎีด้วยสมการสถานะแบบอ่อนจะมีค่าใกล้เคียงกับสมการสถานะแบบแข็ง และเมื่อเพิ่มการคำนวณค่าศักย์ของเคอน-นิวเคลียน ( $K^+N$ ) ลงในสมการสถานะแบบอ่อนและสมการสถานะแบบแข็ง จะทำให้ผลการทดลองทางทฤษฎีมีแนวโน้มที่จะสอดคล้องกับผลการทดลองของ KaoS [2]



ภาพ 21 การคำนวณการกระจายอะซิมูทธอลของการเกิดอนุภาค  $K^+$  เทียบกับมุม  $\phi$  จากปฏิกิริยาการชนของ  $^{197}_{79}\text{Au} + ^{197}_{79}\text{Au}$  ที่พลังงาน  $1.50 \text{ A GeV}$  โดยใช้พารามิเตอร์ตากกระทบ  $5.9 \text{ fm} < b < 10.2 \text{ fm}$  และค่าแร็พิตี้  $0.3 < y / y_{beam} < 0.7$  และไม่ เมนตัมส่งผ่านมีค่า  $0.2 < p_t < 0.8 \text{ GeV/c}$  โดยสัญลักษณ์วงกลมทึบแสดงผลการทดลองของ KaoS [2] เทียบกับเส้นทึบแสดงผลการคำนวณโดยใช้สมการสถานะนิวเคลียร์แบบแข็งโดยรวมศักย์ของเคอน-นิวเคลียน ( $K^+N$ ) (ภาพซ้าย) และเส้นประแสดงผลการคำนวณโดยใช้สมการสถานะนิวเคลียร์แบบแข็งโดยไม่รวมศักย์ของเคอน-นิวเคลียน ( $K^+N$ ) (ภาพขวา)

จากภาพ 21 เป็นการคำนวณการกระจายอะซิมูททอลของ การเกิดอนุภาค  $K^+$  เทียบกับ มุม  $\phi$  ด้วยปฏิกิริยาการชนของ  $^{197}_{79}\text{Au} + ^{197}_{79}\text{Au}$  ที่ระดับพลังงาน  $1.50 \text{ A GeV}$  โดยใช้พารามิเตอร์ ตกกระทบ  $5.9 \text{ fm} < b < 10.2 \text{ fm}$  และค่าแรพิตี้  $0.3 < y / y_{beam} < 0.7$  และไม่ เมนตัมส่งผ่านมีค่า  $0.2 < p_t < 0.8 \text{ GeV/c}$  ผลจากการคำนวณทางทฤษฎีด้วยสมการสถานะแบบแข็งของการรวมศักย์ และไม่รวมศักย์ของเคอ่อน-นิวเคลียน ( $K^+N$ ) พบร่วมกับผลของการทดลอง  $K^+N$  มีผลต่อรูปแบบการ ปลดปล่อยของอนุภาค  $K^+$  โดยที่ค่าการให้หลังวงรี ( $v_2$ ) มีค่าน้อยกว่าศูนย์จึงทำให้เกิดแรงผลัก ซึ่ง ศักย์  $K^+N$  เป็นแรงผลักเพราะระนาบของการเกิดมิทิศตั้งฉาก (out-of-plane) กับระนาบปฏิกิริยา ดังนั้นการคำนวณการให้หลังตรงและการให้หลังวงรีโดยรวมศักย์เคอ่อน-นิวเคลียน ( $K^+N$ ) จะมี แนวโน้มสอดคล้องกับผลการทดลองของ KaoS [2] โดยค่าการให้หลังตรงและค่าการให้หลังวงรี ของการรวมศักย์และไม่รวมศักย์ของเคอ่อน-นิวเคลียน ( $K^+N$ ) จะมีค่า  $v_1 = -0.023 \pm 0.0016$   $v_2 = -0.062 \pm 0.0016$  (ภาพซ้าย) และ  $v_1 = -0.008 \pm 0.0011$   $v_2 = -0.034 \pm 0.0011$  (ภาพขวา)



ภาพ 22 การคำนวณการกระจายอะซิมูทอลของภารเกิดอนุภาค  $K^+$  เทียบกับมุม  $\phi$  จากปฏิกิริยาการชนของ  $^{197}_{79}\text{Au} + ^{197}_{79}\text{Au}$  ที่พลังงาน 1.50 A GeV โดยใช้พารามิเตอร์ ตักษะทบ  $5.9 \text{ fm} < b < 10.2 \text{ fm}$  และค่าแรพิดิตี้  $0.3 < y / y_{beam} < 0.7$  และไมemen ต้มส่งผ่านมีค่า  $0.2 < p_t < 0.8 \text{ GeV}/c$  โดยสัญลักษณ์วงกลมทึบแสดงผล การทดลองของ KaoS [2] เทียบกับเส้นทึบแสดงผลการคำนวณโดยใช้สมการ สถานะนิวเคลียร์แบบแข็งโดยรวมศักย์ของเคอนอน-นิวคลีอ่อน ( $K^+N$ ) (ภาพซ้าย) และเส้นประแสดงผลการคำนวณโดยใช้สมการสถานะนิวเคลียร์แบบแข็งโดยไม่รวมศักย์ของเคอนอน-นิวคลีอ่อน ( $K^+N$ ) (ภาพขวา)

จากภาพ 22 เป็นการคำนวณการกระจายอะซิมูทอลของภารเกิดอนุภาค  $K^+$  เทียบกับ มุม  $\phi$  ด้วยปฏิกิริยาการชนของ  $^{197}_{79}\text{Au} + ^{197}_{79}\text{Au}$  ที่ระดับพลังงาน 1.50 A GeV โดยใช้พารามิเตอร์ ตักษะทบ  $5.9 \text{ fm} < b < 10.2 \text{ fm}$  และค่าแรพิดิตี้  $0.3 < y / y_{beam} < 0.7$  และไมemen ต้มส่งผ่านมีค่า  $0.2 < p_t < 0.8 \text{ GeV}/c$  ผลจากการคำนวณทางทฤษฎีด้วยสมการสถานะแบบแข็งของกราฟรวมศักย์ และไม่รวมศักย์ของเคอนอน-นิวคลีอ่อน ( $K^+N$ ) พบร่วมกันที่ศักย์ของศักย์  $K^+N$  มีผลต่อรูปแบบการ ปลดปล่อยของอนุภาค  $K^+$  โดยที่ค่าการแหลมเรืองรีมี ( $v_2$ ) ค่าน้อยกว่าศูนย์จึงทำให้เกิดแรงผลัก ซึ่ง ศักย์  $K^+N$  เป็นแรงผลักเพราะวนานของภารเกิดมีทิศตั้งฉาก (out-of-plane) กับระนาบปฏิกิริยา

ดังนั้นการคำนวณการไหลเชิงตรงและการไหลเชิงวงรีโดยรวมศักย์เคอน-นิวคลีอ่อน ( $K^+N$ ) จะมีแนวโน้มสอดคล้องกับผลการทดลองของกลุ่ม KaoS [2] โดยค่าการไหลเชิงตรงและค่าการไหลเชิงวงรีของการรวมศักย์และไม่รวมศักย์ของเคอน-นิวคลีอ่อน ( $K^+N$ ) จะมีค่า  $v_1 = -0.041 \pm 0.002$   $v_2 = -0.042 \pm 0.001$  (ภาพข้าง) และ  $v_1 = -0.006 \pm 0.0013$   $v_2 = -0.03 \pm 0.0013$  (ภาพขวา)

ตาราง 4 แสดงค่าการไหลแบบส่งผ่าน  $v_1$  และการไหลเชิงวงรี  $v_2$  เปรียบเทียบผลการทดลองของ KaoS [2] และผลการคำนวณโดยรวมศักย์ และไม่รวมศักย์  $K^+N$  จากการชนของ  $^{197}_{79}\text{Au} + ^{197}_{79}\text{Au}$  ที่ระดับพลังงาน 1.50 A GeV โดยสมการสถานะแบบแข็ง

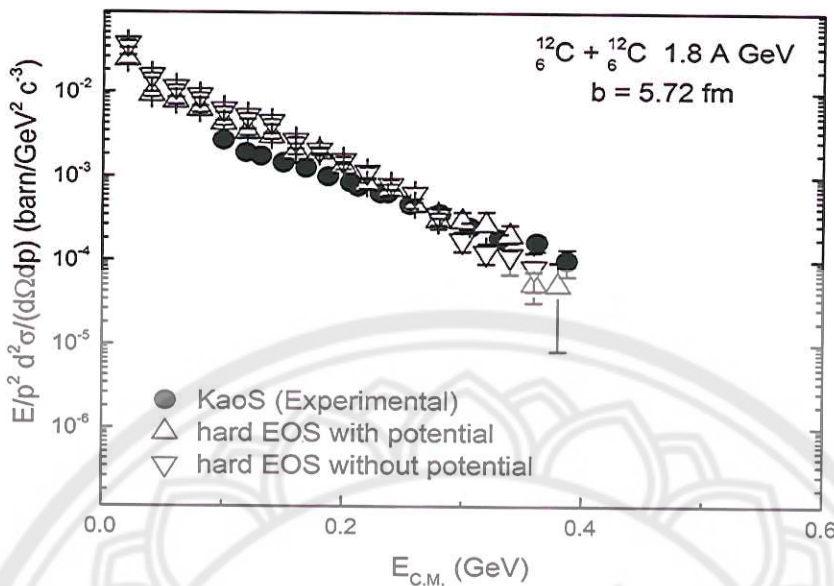
การไหล	ผลการทดลอง	รวมศักย์ $K^+N$	ไม่รวมศักย์ $K^+N$
การไหลเชิงตรง ( $v_1$ )	$0.04 \pm 0.01$	$-0.023 \pm 0.0016$	$-0.008 \pm 0.0011$
การไหลเชิงวงรี ( $v_2$ )	$-0.09 \pm 0.03$	$-0.062 \pm 0.0016$	$-0.034 \pm 0.0011$

ตาราง 5 แสดงค่าการไหลแบบส่งผ่าน  $v_1$  และการไหลเชิงวงรี  $v_2$  เปรียบเทียบผลการทดลองของ KaoS [2] และผลการคำนวณโดยรวมศักย์ และไม่รวมศักย์  $K^+N$  จากการชนของ  $^{197}_{79}\text{Au} + ^{197}_{79}\text{Au}$  ที่ระดับพลังงาน 1.50 A GeV โดยสมการสถานะแบบอ่อน

การไหล	ผลการทดลอง	รวมศักย์ $K^+N$	ไม่รวมศักย์ $K^+N$
การไหลเชิงตรง ( $v_1$ )	$0.04 \pm 0.01$	$-0.041 \pm 0.002$	$-0.006 \pm 0.0013$
การไหลเชิงวงรี ( $v_2$ )	$-0.09 \pm 0.03$	$-0.042 \pm 0.001$	$-0.030 \pm 0.0013$

#### ภาคตัดขวางของการเกิดอนุภาคนัก $K^+$

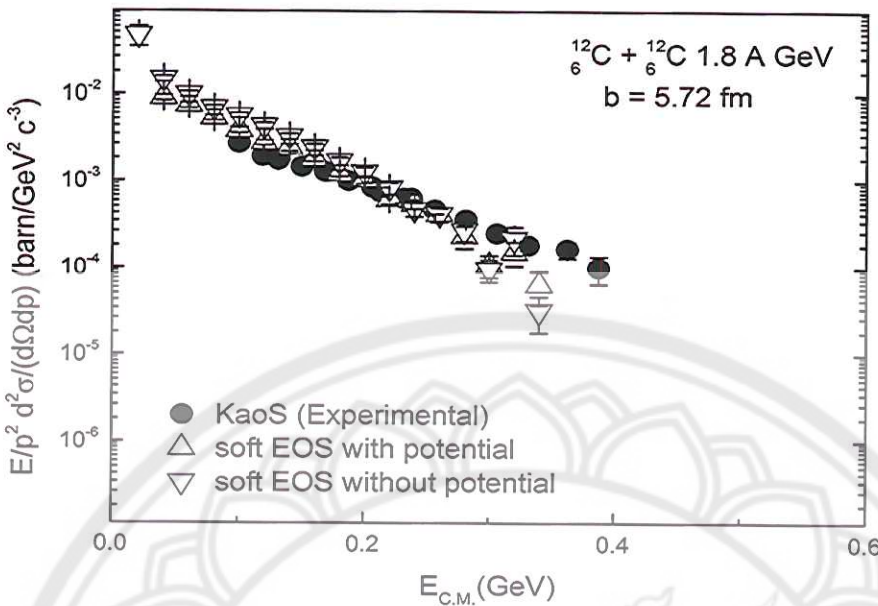
ผลการวิเคราะห์ภาคตัดขวางของการเกิดอนุภาคนัก  $K^+$  เทียบกับพลังงานของปฏิกิริยาการชนระหว่าง  $^{12}_6\text{C} + ^{12}_6\text{C}$  ที่ระดับพลังงานในการเข้าชน 1.8 A GeV โดยกำหนดค่าพารามิเตอร์ ตกกระทบต่ำสุด ( $b_{min} = 3.70 \text{ fm}$ ) และค่าพารามิเตอร์ตกกระทบสูงสุด ( $b_{max} = 5.72 \text{ fm}$ ) ที่มุมเชิงข้าง  $q_{C.M.} = 90^\circ \pm 10^\circ$  ดังภาพ 23, 24, 25 และ 26



ภาพ 23 การคำนวณภาคตัดขวางของการเกิด  $K^+$  เทียบกับพลังงานจลน์ ( $E_{c.m.}$ )

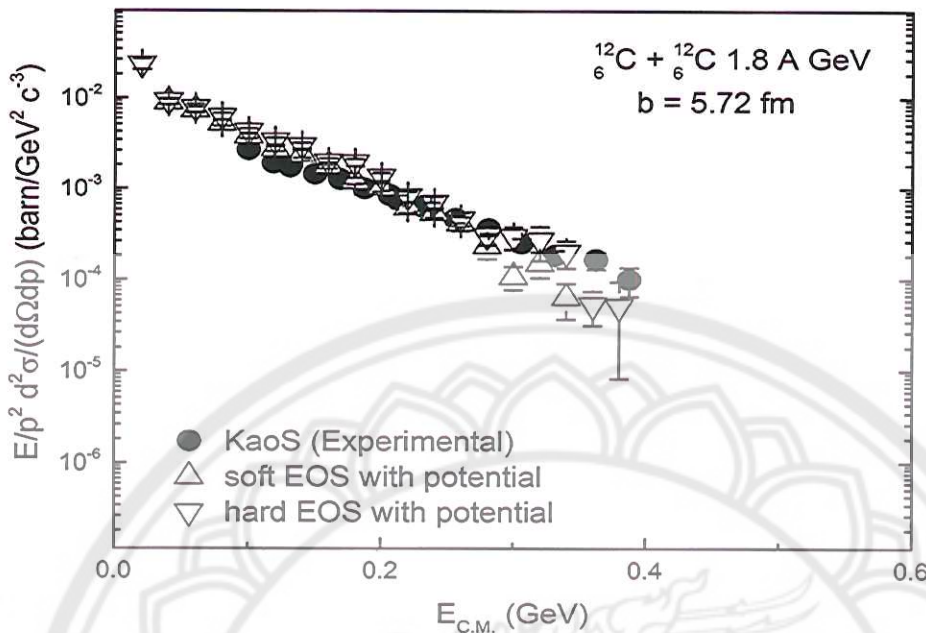
จากปฏิกริยาการชนของ  $^{12}_6C + ^{12}_6C$  ที่พลังงาน 1.8 A GeV ที่มุ่งเชิงข้าว  $q_{c.m.} = 90^\circ \pm 10^\circ$  โดยสัญลักษณ์วงกลมทึบแสดงผลการทดลองของ KaoS [30] เทียบกับสัญลักษณ์สามเหลี่ยมหงายแสดงผลการคำนวณโดยใช้สมการสถานะแบบแข็งโดยรวมศักย์ของเคอ่อน-นิวเคลียร์ ( $K^+N$ ) และสัญลักษณ์สามเหลี่ยมคว่ำแสดงผลการคำนวณโดยใช้สมการสถานะแบบแข็งโดยไม่รวมศักย์ ของเคอ่อน-นิวเคลียร์ ( $K^+N$ )

จากการ 23 เป็นการคำนวณภาคตัดขวางของการเกิดอนุภาคน้ำ  $K^+$  เทียบกับพลังงานจลน์  $E_{c.m.}$  (GeV) จากปฏิกริยาการชนของ  $^{12}_6C + ^{12}_6C$  ที่พลังงาน 1.8 A GeV โดยกำหนดค่าพารามิเตอร์กระบทดำสุด ( $b_{min} = 3.70$  fm) และค่าพารามิเตอร์กระบทสูงสุด ( $b_{max} = 5.72$  fm) ที่มุ่งเชิงข้าว  $q_{c.m.} = 90^\circ \pm 10^\circ$  ผลจากการคำนวณทางทฤษฎีด้วยสมการสถานะแบบแข็ง เมื่อการคำนวณโดยไม่รวมศักย์ของเคอ่อน-นิวเคลียร์ ( $K^+N$ ) ลงในสมการสถานะแบบแข็ง ซึ่งจะทำให้ได้ว่าผลการคำนวณโดยไม่รวมศักย์ของเคอ่อน-นิวเคลียร์ ( $K^+N$ ) จะทำให้เกิดอนุภาคน้ำ  $K^+$  เกิดขึ้นมากและเห็นได้ชัดว่าผลการคำนวณมีค่าสูงกว่าการคำนวณโดยรวมศักย์ของเคอ่อน-นิวเคลียร์ ( $K^+N$ ) แต่การคำนวณโดยการรวมศักย์เคอ่อน-นิวเคลียร์ของ Brown กับ Rho ของเคอ่อนที่เกิดขึ้นทำให้มีเมนตัมส่วนของสเปกตรัมมีค่าลดลง ด้วยเหตุนี้จึงทำให้ผลการคำนวณโดยรวมศักย์ของเคอ่อน-นิวเคลียร์ ( $K^+N$ ) มีแนวโน้มที่จะสอดคล้องกับผลการทดลองของ KaoS [30]



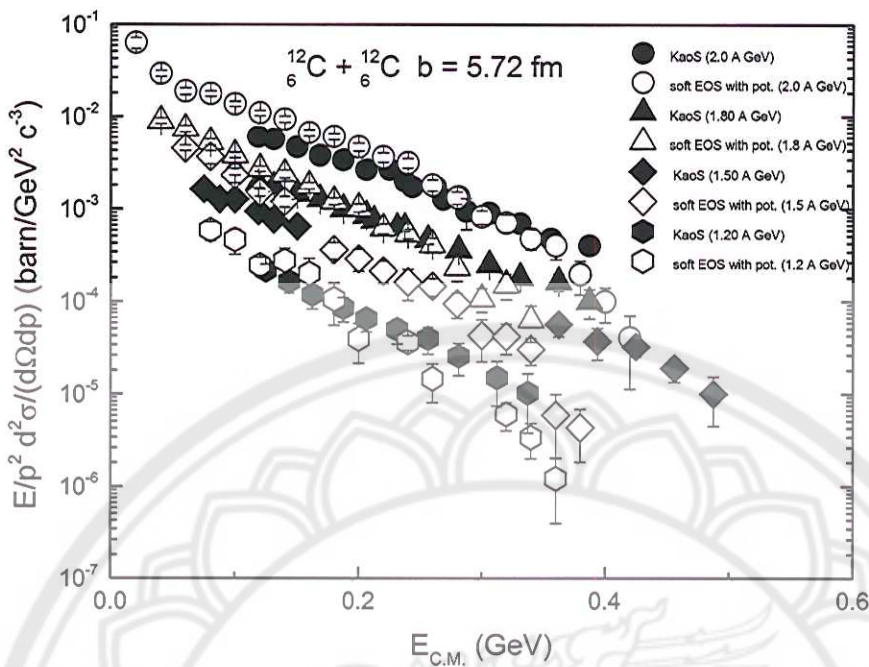
ภาพ 24 การคำนวณภาคตัดขวางของการเกิด  $K^+$  เทียบกับพลังงานจลน์ ( $E_{c.m.}$ ) จากปฏิกริยาการชนของ  $^{12}_6C + ^{12}_6C$  ที่พลังงาน 1.8 A GeV ที่มุ่งเชิงข้าว  $q_{c.m.} = 90^\circ \pm 10^\circ$  โดยสัญลักษณ์วงกลมทึบแสดงผลการทดลองของ KaoS [30] เทียบกับสัญลักษณ์สามเหลี่ยมหงายแสดงผลการคำนวณโดยใช้สมการสถานะแบบอ่อนและรวมศักย์ของเคอน-นิวเคลียร์ ( $K^+N$ ) และสัญลักษณ์สามเหลี่ยมครึ่งแสดงผลการคำนวณโดยใช้สมการสถานะแบบอ่อนและไม่รวมศักย์ ของเคอน-นิวเคลียร์ ( $K^+N$ )

จากภาพ 24 เป็นการคำนวณภาคตัดขวางของการเกิดอนุภาค  $K^+$  เทียบกับพลังงานจลน์  $E_{c.m.}$  (GeV) จากปฏิกริยาการชนของ  $^{12}_6C + ^{12}_6C$  ที่พลังงาน 1.8 A GeV โดยกำหนดค่าพารามิเตอร์ตักษะทบทำสุด ( $b_{min} = 3.70$  fm) และค่าพารามิเตอร์ตักษะทบทบสูงสุด ( $b_{max} = 5.72$  fm) ที่มุ่งเชิงข้าว  $q_{c.m.} = 90^\circ \pm 10^\circ$  ผลจากการคำนวณทางทฤษฎีด้วยสมการสถานะแบบอ่อน เมื่อการคำนวณโดยไม่รวมศักย์ของเคอน-นิวเคลียร์ ( $K^+N$ ) ลงในสมการสถานะแบบอ่อน ซึ่งจะทำให้ได้ว่าผลการคำนวณโดยไม่รวมศักย์ของเคอน-นิวเคลียร์ ( $K^+N$ ) จะทำให้เกิดอนุภาค  $K^+$  เกิดขึ้นมากและเห็นได้ชัดว่าผลการคำนวณมีค่าสูงกว่าการคำนวณโดยรวมศักย์ของเคอน-นิวเคลียร์ ( $K^+N$ ) แต่การคำนวณโดยการรวมศักย์เคอน-นิวเคลียร์ของ Brown กับ Rho ของเคอนที่เกิดขึ้นทำให้ไม่ เมนตัมส่วนของสเปกตรัมมีค่าลดลง ด้วยเหตุนี้จึงทำให้ผลการคำนวณโดยรวมศักย์ของเคอน-นิวเคลียร์ ( $K^+N$ ) มีแนวโน้มที่จะสอดคล้องกับผลการทดลองของ KaoS [30]



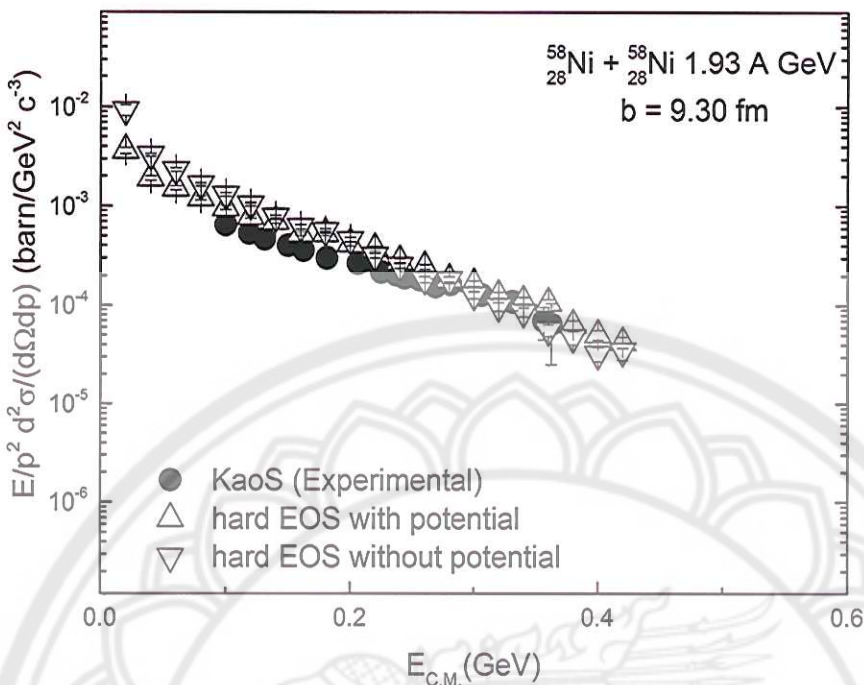
ภาพ 25 การคำนวณภาคตัดขวางของการเกิด  $K^+$  เทียบกับพลังงานจลน์ ( $E_{c.m.}$ ) จากปฏิกริยาการชนของ  $^{12}_C + ^{12}_C$  ที่พลังงาน 1.8 A GeV ที่มุ่งเชิงข้าว  $q_{c.m.} = 90^\circ \pm 10^\circ$  โดยสัญลักษณ์วงกลมทีบแสดงผลการทดลองของ KaoS [30] เทียบกับสัญลักษณ์สามเหลี่ยมหงายแสดงผลการคำนวณโดยใช้สมการสถานะแบบอ่อนโดยรวมศักย์ของเคออน-นิวเคลียชน ( $K^+N$ ) และสัญลักษณ์สามเหลี่ยมกว้างแสดงผลการคำนวณโดยใช้สมการสถานะแบบแข็งโดยรวมศักย์ของเคออน-นิวเคลียชน ( $K^+N$ )

จากภาพ 25 เป็นการคำนวณภาคตัดขวางของการเกิดอนุภาค  $K^+$  เทียบกับพลังงานจลน์  $E_{c.m.}$  (GeV) จากปฏิกริยาการชนของ  $^{12}_C + ^{12}_C$  ที่พลังงาน 1.8 A GeV โดยกำหนดค่าพารามิเตอร์ตักษะทบทำสุด ( $b_{min} = 3.70 \text{ fm}$ ) และค่าพารามิเตอร์ตักษะทบทบสูงสุด ( $b_{max} = 5.72 \text{ fm}$ ) ที่มุ่งเชิงข้าว  $q_{c.m.} = 90^\circ \pm 10^\circ$  ผลจากการคำนวณทางทฤษฎีด้วยสมการสถานะแบบอ่อน จะมีค่าใกล้เคียงกับสมการสถานะแบบแข็ง เมื่อเพิ่มการคำนวณศักย์ของเคออน-นิวเคลียชน ( $K^+N$ ) ลงในสมการสถานะแบบอ่อน และสมการสถานะแบบแข็ง จะทำให้ได้ว่าผลการคำนวณทางทฤษฎีมีแนวโน้มที่จะสอดคล้องกับผลการทดลองของ KaoS [30]



ภาพ 26 การคำนวณภาคตัดขวางของการเกิด  $K^+$  เทียบกับพลังงานจลน์ ( $E_{c.m.}$ ) จากปฏิกิริยาการชนของ  $^{12}_6C + ^{12}_6C$  ที่พลังงาน 2.0 1.8 1.5 และ 1.2 A GeV ที่มุ่งเน็งข้าว  $q_{c.m.} = 90^\circ \pm 10^\circ$  โดยสัญลักษณ์วงกลมทึบ สามเหลี่ยมทึบ ข้าว หلامตัดทึบ และหกเหลี่ยมทึบ แสดงผลการทดลองของ KaoS [30] เทียบกับสัญลักษณ์วงกลมโปร่ง สามเหลี่ยมโปร่ง ข้าวหلامตัดโปร่ง และหกเหลี่ยมโปร่ง แสดงผลการคำนวณโดยใช้สมการสถานะแบบอ่อนและรวมศักย์ของเคออน-นิวเคลียน ( $K^+N$ )

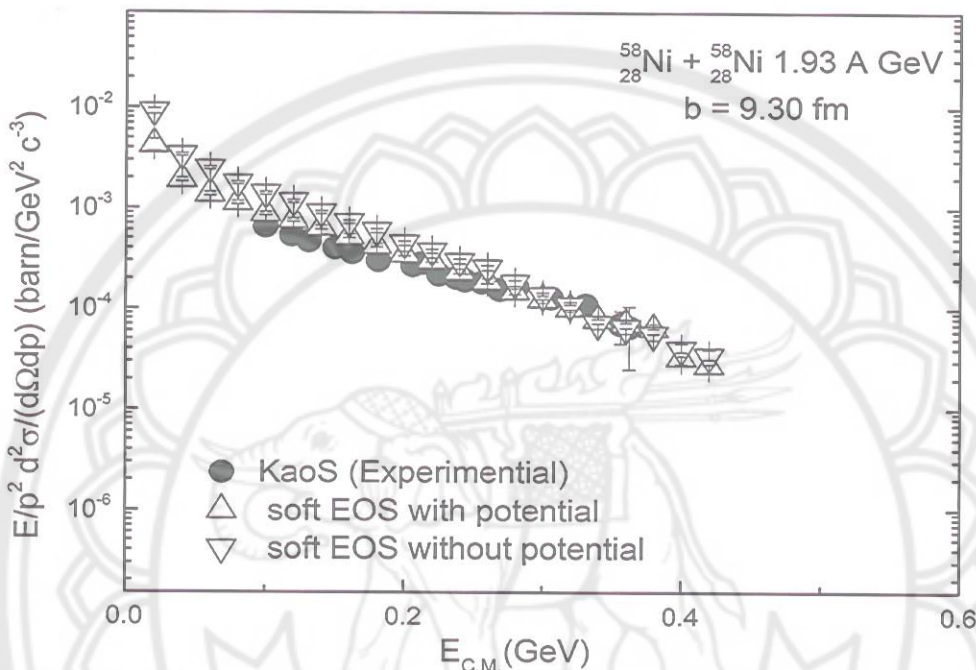
จากภาพ 26 เป็นการคำนวณภาคตัดขวางของการเกิดอนุภาค  $K^+$  เทียบกับพลังงานจลน์  $E_{c.m.}$  (GeV) จากปฏิกิริยาการชนของ  $^{12}_6C + ^{12}_6C$  ที่พลังงาน 2.0 1.8 1.5 และ 1.2 A GeV โดยกำหนดค่าพารามิเตอร์ต่อกำหนด ( $b_{min} = 3.70$  fm) และค่าพารามิเตอร์ตากำหนด ( $b_{max} = 5.72$  fm) ที่มุ่งเน็งข้าว  $q_{c.m.} = 90^\circ \pm 10^\circ$  ผลจากการคำนวณทางทฤษฎีด้วยสมการสถานะแบบอ่อน เมื่อเพิ่มการคำนวณศักย์ของเคออน-นิวเคลียน ( $K^+N$ ) ในแต่ละพลังงาน จะพบว่าภาคตัดขวางของการเกิดอนุภาค  $K^+$  เพิ่มขึ้น เมื่อพลังงาน  $E_{c.m.}$  (GeV) มีค่าเพิ่มขึ้น และมีแนวโน้มสอดคล้องกับผลการทดลองของ KaoS [30]



ภาพ 27 การคำนวณภาคตัดขวางของการเกิด  $K^+$  เทียบกับพลังงานจลน์ ( $E_{C.M.}$ ) จากปฏิกริยาการชนของ  $^{58}_{28}\text{Ni} + ^{58}_{28}\text{Ni}$  ที่พลังงาน 1.93 A GeV ที่มุ่งเชิงข้าว  $q_{C.M.} = 90^\circ \pm 10^\circ$  โดยสัญลักษณ์วงกลมที่บีแสดงผลการทดลองของ KaoS [30] เทียบกับสัญลักษณ์สามเหลี่ยมหนาแสดงผลการคำนวณโดยใช้สมการสถานะแบบแข็งและรวมศักย์ของเคอ่อน-นิวเคลียน ( $K^+N$ ) และสัญลักษณ์สามเหลี่ยมครึ่งแสดงผลการคำนวณโดยใช้สมการสถานะแบบแข็งและไม่รวมศักย์ของเคอ่อน-นิวเคลียน ( $K^+N$ )

จากภาพ 27 เป็นการคำนวณภาคตัดขวางของการเกิดอนุภาค  $K^+$  เทียบกับพลังงานจลน์  $E_{C.M.}$  (GeV) จากปฏิกริยาการชนของ  $^{58}_{28}\text{Ni} + ^{58}_{28}\text{Ni}$  ที่พลังงาน 1.93 A GeV โดยกำหนดค่าพารามิเตอร์ต่ำสุด ( $b_{min} = 6.25$  fm) และค่าพารามิเตอร์ต่ำสูงสุด ( $b_{max} = 9.30$  fm) ที่มุ่งเชิงข้าว  $q_{C.M.} = 90^\circ \pm 10^\circ$  ผลจากการคำนวณทางทฤษฎีด้วยสมการสถานะแบบแข็ง เมื่อการคำนวณโดยไม่รวมศักย์ของเคอ่อน-นิวเคลียน ( $K^+N$ ) ลงในสมการสถานะแบบแข็ง ซึ่งจะทำให้ได้ว่าผลการคำนวณโดยไม่รวมศักย์ของเคอ่อน-นิวเคลียน ( $K^+N$ ) จะทำให้เกิดอนุภาค  $K^+$  เกิดขึ้นมากและเห็นได้ชัดว่าผลการคำนวณมีค่าสูงกว่าการคำนวณโดยรวมศักย์ของเคอ่อน-นิวเคลียน ( $K^+N$ ) แต่การคำนวณโดยการรวมศักย์เคอ่อน-นิวเคลียนของ Brown กับ Rho

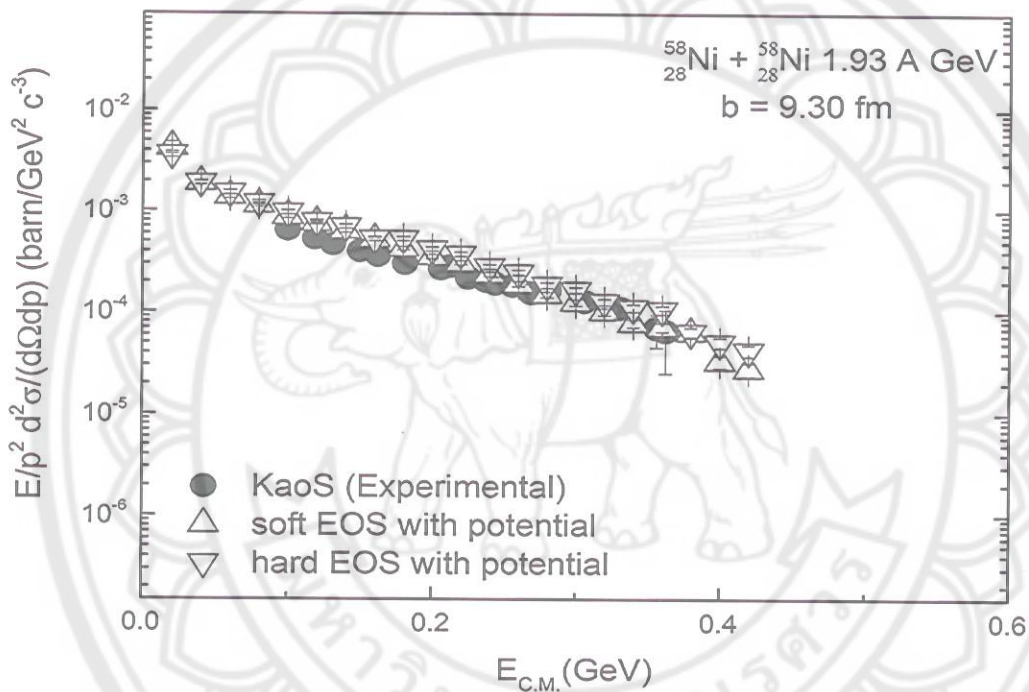
ของเคอนที่เกิดขึ้นทำให้มีเมนตัมส่วนของสเปกตรัมมีค่าลดลง ด้วยเหตุนี้จึงทำให้ผลการคำนวณโดยรวมศักย์ของเคอน-นิวเคลียน ( $K^+N$ ) มีแนวโน้มที่จะสอดคล้องกับผลการทดลองของ KaoS [30]



ภาพ 28 การคำนวณภาคตัดขวางของการเกิด  $K^+$  เทียบกับพลังงานจลน์ ( $E_{c.m.}$ ) จากปฏิกิริยาการชนของ  $^{58}_{28}\text{Ni} + ^{58}_{28}\text{Ni}$  ที่พลังงาน 1.93 A GeV ที่มุมเชิงข้าม  $q_{c.m.} = 90^\circ \pm 10^\circ$  โดยสัญลักษณ์วงกลมที่บแสดงผลการทดลองของ KaoS [30] เทียบกับสัญลักษณ์สามเหลี่ยมหงายแสดงผลการคำนวณโดยใช้สมการสถานะแบบอ่อนโดยรวมศักย์ของเคอน-นิวเคลียน ( $K^+N$ ) และสัญลักษณ์สามเหลี่ยมคว่ำแสดงผลการคำนวณ โดยใช้สมการสถานะแบบอ่อนโดยไม่รวมศักย์ ของเคอน-นิวเคลียน ( $K^+N$ )

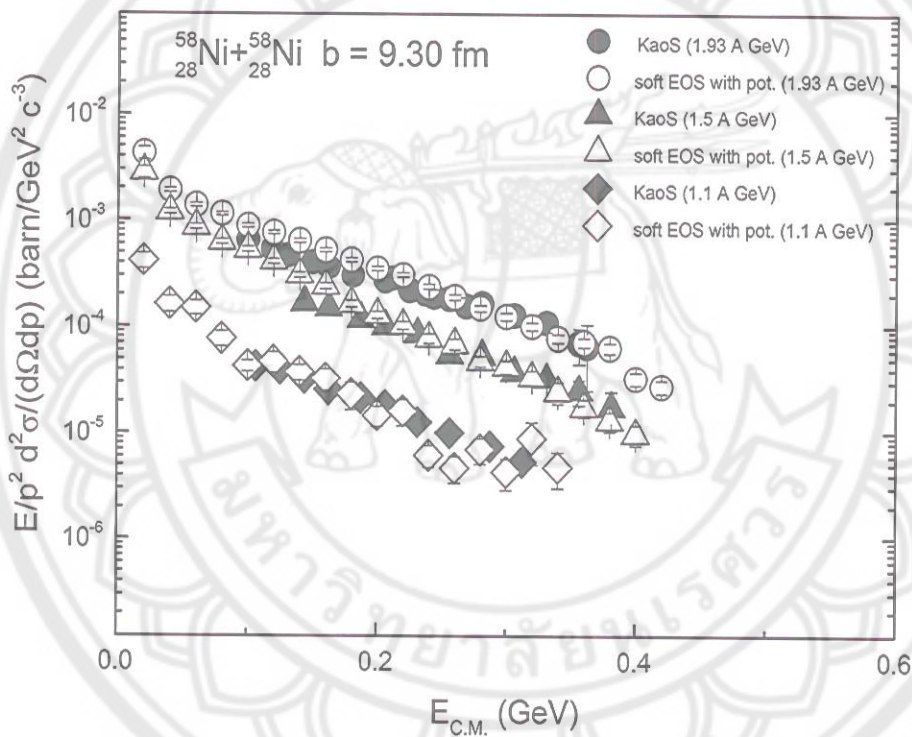
จากภาพ 28 เป็นการคำนวณภาคตัดขวางของการเกิดอนุภาค  $K^+$  เทียบกับพลังงานจลน์  $E_{c.m.}$  (GeV) จากปฏิกิริยาการชนของ  $^{58}_{28}\text{Ni} + ^{58}_{28}\text{Ni}$  ที่พลังงาน 1.93 A GeV โดยกำหนดค่าพารามิเตอร์ตักษะทบทำสุด ( $b_{min} = 6.25$  fm) และค่าพารามิเตอร์ตักษะทบทบสูงสุด ( $b_{max} = 9.30$  fm) ที่มุมเชิงข้าม  $q_{c.m.} = 90^\circ \pm 10^\circ$  ผลจากการคำนวณทางทฤษฎีด้วยสมการสถานะแบบอ่อน เมื่อการคำนวณโดยไม่รวมศักย์ของเคอน-นิวเคลียน ( $K^+N$ ) ลงในสมการสถานะแบบอ่อน

ซึ่งจะทำให้ได้ว่าผลการคำนวณโดยไม่วิเคราะห์ศักย์ของเคออน-นิวเคลียร์ ( $K^+N$ ) จะทำให้เกิดอนุภาค  $K^+$  เกิดขึ้นมากและเห็นได้ชัดว่าผลการคำนวณมีค่าสูงกว่าการคำนวณโดยวิเคราะห์ศักย์ของ เคออน-นิวเคลียร์ ( $K^+N$ ) แต่การคำนวณโดยการรวมศักย์เคออน-นิวเคลียร์ของ Brown กับ Rho ของเคออนที่เกิดขึ้นทำให้ไม่เห็นต้มส่วนของスペกตรัมมีค่าลดลง ด้วยเหตุนี้จึงทำให้ผลการคำนวณโดยวิเคราะห์ศักย์ของเคออน-นิวเคลียร์ ( $K^+N$ ) มีแนวโน้มที่จะสอดคล้องกับผลการทดลองของ KaoS [30]



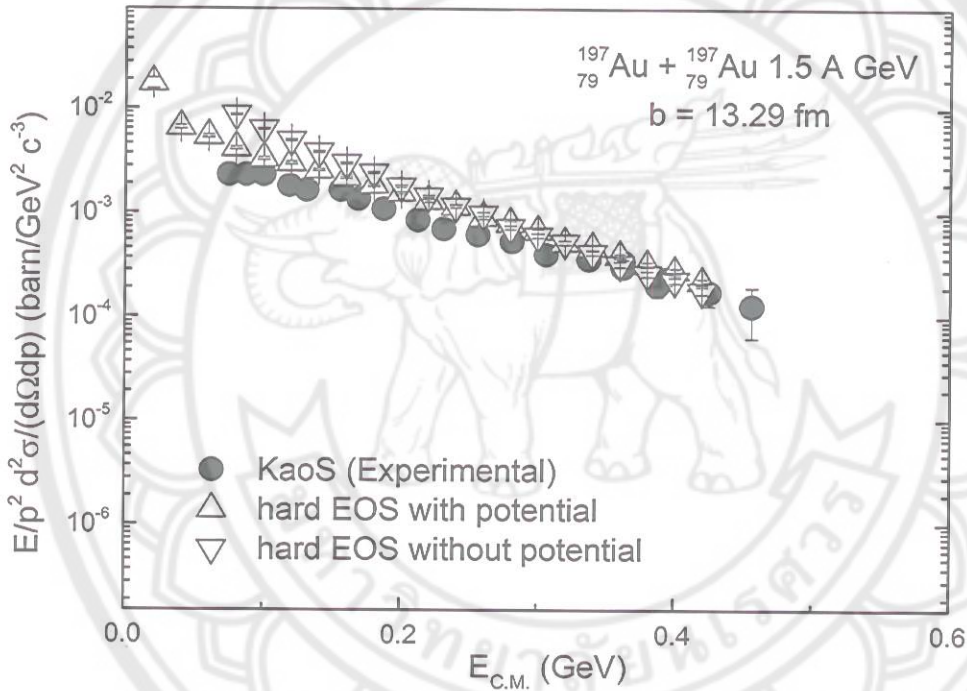
ภาพ 29 การคำนวณภาคตัดขวางของการเกิด  $K^+$  เทียบกับพลังงาน隼 ( $E_{c.m.}$ ) จากปฏิกิริยาการชนของ  $^{58}_{28}\text{Ni} + ^{58}_{28}\text{Ni}$  ที่พลังงาน  $1.93 \text{ A GeV}$  ที่มุมเชิงข้าม  $q_{c.m.} = 90^\circ \pm 10^\circ$  โดยสัญลักษณ์วงกลมที่บีบแสดงผลการทดลองของ KaoS [30] เทียบกับสัญลักษณ์สามเหลี่ยมหมายแสดงผลการคำนวณโดยใช้สมการสถานะแบบอ่อนโดยรวมศักย์ของเคออน-นิวเคลียร์ ( $K^+N$ ) และสัญลักษณ์สามเหลี่ยมค่าว่าแสดงผลการคำนวณโดยใช้สมการสถานะแบบแข็งโดยรวมศักย์ ของเคออน-นิวเคลียร์ ( $K^+N$ )

จากภาพ 29 เป็นการคำนวณภาคตัดขวางของการเกิดอนุภาค  $K^+$  เทียบกับพลังงานจลน์  $E_{C.M.}$  (GeV) จากปฏิกริยาการชนของ  $^{58}_{28}Ni + ^{58}_{28}Ni$  ที่พลังงาน 1.93 A GeV โดยกำหนดค่าพารามิเตอร์ตักษะทบทำสุด ( $b_{min} = 6.25$  fm) และค่าพารามิเตอร์ตักษะทบทบสูงสุด ( $b_{max} = 9.30$  fm) ที่มุมเชิงชี้  $q_{C.M.} = 90^\circ \pm 10^\circ$  ผลจากการคำนวณทางทฤษฎีด้วยสมการสถานะแบบอ่อน จะมีค่าใกล้เคียงกับสมการสถานะแบบแข็ง เมื่อเพิ่มการคำนวณศักย์ของเคอน-นิวเคลียน ( $K^+N$ ) ลงในสมการสถานะแบบอ่อน และสมการสถานะแบบแข็ง ซึ่งจะทำให้ผลการคำนวณทางทฤษฎีมีแนวโน้มที่จะสอดคล้องกับผลการทดลองของ KaoS [30]



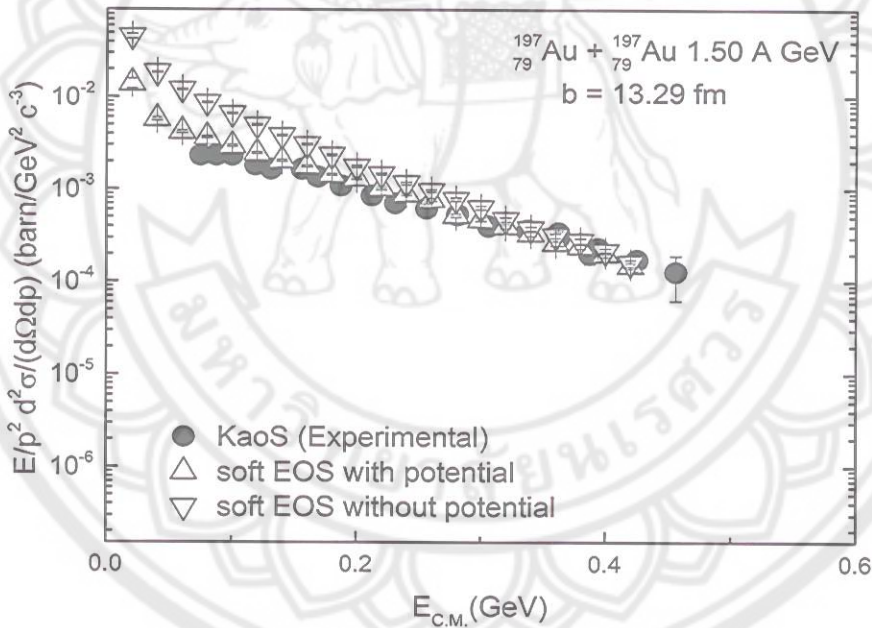
ภาพ 30 การคำนวณภาคตัดขวางของการเกิด  $K^+$  เทียบกับพลังงานจลน์ ( $E_{C.M.}$ ) จากปฏิกริยาการชนของ  $^{58}_{28}Ni + ^{58}_{28}Ni$  ที่พลังงาน 1.93 1.5 และ 1.1 A GeV ที่มุมเชิงชี้  $q_{C.M.} = 90^\circ \pm 10^\circ$  โดยสัญลักษณ์วงกลมทึบ สามเหลี่ยมทึบ และข้าวหลามตัดทึบ แสดงผลการทดลองจาก KaoS [30] เทียบกับสัญลักษณ์วงกลมโปร่ง สามเหลี่ยมโปร่ง และข้าวหลามตัดโปร่ง แสดงผลการคำนวณโดยใช้สมการสถานะแบบอ่อนโดยรวมศักย์ของเคอน-นิวเคลียน ( $K^+N$ )

จากภาพ 30 เป็นการคำนวณภาคตัดขวางของการเกิดอนุภาค  $K^+$  เทียบกับพลังงานจลน์  $E_{C.M.}$  (GeV) จากปฏิกริยาการชนของ  $^{58}_{28} Ni + ^{58}_{28} Ni$  ที่พลังงาน 1.93 A 1.5 และ 1.1 A GeV โดยกำหนดค่าพารามิเตอร์ตักษะทบทำสูด ( $b_{min} = 6.25$  fm) และค่าพารามิเตอร์ตักษะทบทสูงสุด ( $b_{max} = 9.30$  fm) ที่มุมเชิงข้อ  $q_{C.M.} = 90^\circ \pm 10^\circ$  ผลจากการคำนวณทางทฤษฎีด้วยสมการสถานะแบบอ่อน เมื่อเพิ่มการคำนวณศักย์ของเคอน-นิวเคลียน ( $K^+N$ ) ในแต่ละพลังงาน จะพบว่าภาคตัดขวางของการเกิดอนุภาค  $K^+$  เพิ่มขึ้น เมื่อพลังงาน  $E_{C.M.}$  (GeV) มีค่าเพิ่มขึ้น และมีแนวโน้มสอดคล้องกับผลการทดลองของ KaoS [30]



ภาพ 31 การคำนวณภาคตัดขวางของการเกิด  $K^+$  เทียบกับพลังงานจลน์ ( $E_{C.M.}$ ) จากปฏิกริยาการชนของ  $^{197}_{79} Au + ^{197}_{79} Au$  ที่พลังงาน 1.5 A GeV ที่มุมเชิงข้อ  $q_{C.M.} = 90^\circ \pm 10^\circ$  โดยสัญลักษณ์วงกลมทีบแสดงผลการทดลองของ KaoS [30] เทียบกับสามเหลี่ยมหงายแสดงผลการคำนวณโดยใช้สมการสถานะแบบแข็งและรวมศักย์ของเคอน-นิวเคลียน ( $K^+N$ ) และสัญลักษณ์สามเหลี่ยมครึ่งแสดงผลการคำนวณโดยใช้สมการสถานะแบบแข็งโดยไม่รวมศักย์เคอน-นิวเคลียน ( $K^+N$ )

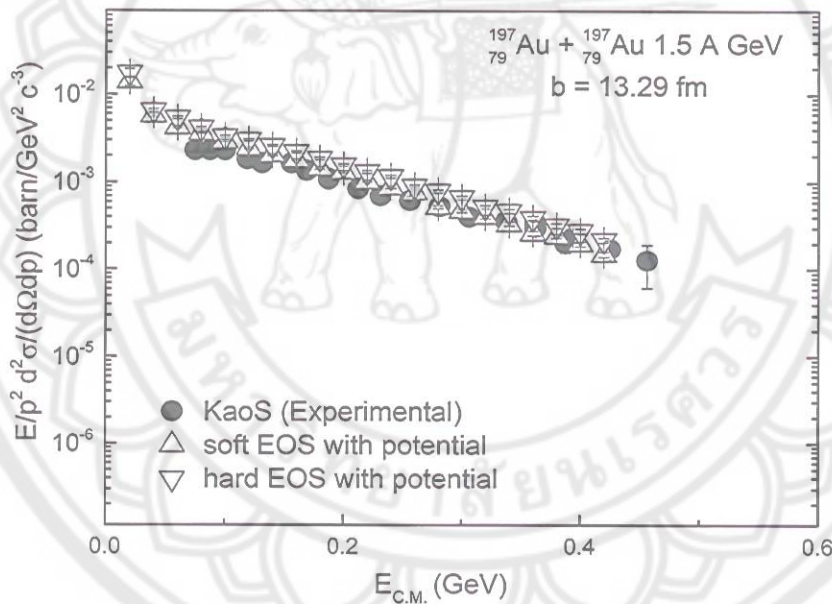
จากภาพ 31 เป็นการคำนวณภาคตัดขวางของการเกิดอนุภาค  $K^+$  เทียบกับพลังงาน จลน์  $E_{c.m.}$  (GeV) จากปฏิกิริยาการชนของ  $^{197}_{79}\text{Au} + ^{197}_{79}\text{Au}$  ที่พลังงาน  $1.5 \text{ A GeV}$  โดยกำหนดค่าพารามิเตอร์ตักษะที่ต่ำสุด ( $b_{min} = 9.40 \text{ fm}$ ) และค่าพารามิเตอร์ตักษะที่สูงสุด ( $b_{max} = 13.29 \text{ fm}$ ) ที่มุมเชิงชี้  $q_{c.m.} = 90^\circ \pm 10^\circ$  ผลจากการคำนวณทางทฤษฎีด้วยสมการสถานะแบบแข็ง เมื่อการคำนวณโดยไม่รวมศักย์ของเคอ่อน-นิวเคลียน ( $K^+N$ ) ลงในสมการสถานะแบบแข็ง ซึ่งจะทำให้ได้ว่าผลการคำนวณโดยไม่รวมศักย์ของเคอ่อน-นิวเคลียน ( $K^+N$ ) จะทำให้เกิดอนุภาค  $K^+$  เกิดขึ้นมากและเห็นได้ชัดว่าผลการคำนวณมีค่าสูงกว่าการคำนวณโดยรวมศักย์ของเคอ่อน-นิวเคลียน ( $K^+N$ ) แต่การคำนวณโดยการรวมศักย์เคอ่อน-นิวเคลียนของ Brown กับ Rho ของเคอ่อนที่เกิดขึ้นทำให้มีเมนตัมส่วนของสเปกตรัมมีค่าลดลง ด้วยเหตุนี้จึงทำให้ผลการคำนวณโดยรวมศักย์ของเคอ่อน-นิวเคลียน ( $K^+N$ ) มีแนวโน้มที่จะสอดคล้องกับผลการทดลองของ KaoS [30]



ภาพ 32 การคำนวณภาคตัดขวางของการเกิด  $K^+$  เทียบกับพลังงานจลน์ ( $E_{c.m.}$ )

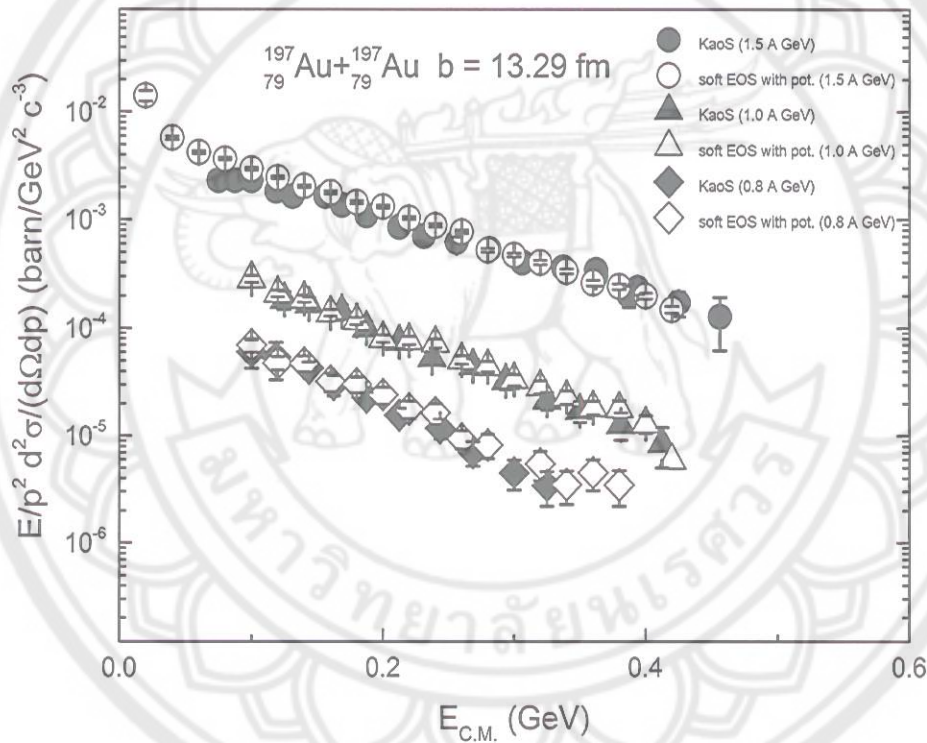
จากปฏิกิริยาการชนของ  $^{197}_{79}\text{Au} + ^{197}_{79}\text{Au}$  ที่พลังงาน  $1.5 \text{ A GeV}$  ที่มุมเชิงชี้  $q_{c.m.} = 90^\circ \pm 10^\circ$  โดยสัญลักษณ์วงกลมที่บแสดงผลการทดลองของ KaoS [30] เทียบกับสัญลักษณ์สามเหลี่ยมหงายแสดงผลการคำนวณโดยใช้สมการสถานะแบบอ่อนโดยรวมศักย์ของเคอ่อน-นิวเคลียน ( $K^+N$ ) และสัญลักษณ์สามเหลี่ยมคว่ำแสดงผลการคำนวณโดยใช้สมการสถานะแบบอ่อนโดยไม่รวมศักย์ของเคอ่อน-นิวเคลียน ( $K^+N$ )

จากภาพ 32 เป็นการคำนวณภาคตัดขวางของการเกิดอนุภาค  $K^+$  เทียบกับพลังงานจลน์  $E_{c.m.}$  (GeV) จากปฏิกริยาการชนของ  $^{197}_{79} \text{Au} + ^{197}_{79} \text{Au}$  ที่พลังงาน  $1.5 \text{ A GeV}$  โดยกำหนดค่าพารามิเตอร์ตักษะทบทำสุด ( $b_{min} = 9.40 \text{ fm}$ ) และค่าพารามิเตอร์ตักษะทบทบสูงสุด ( $b_{max} = 13.29 \text{ fm}$ ) ที่มุมเชิงช้า  $q_{c.m.} = 90^\circ \pm 10^\circ$  ผลจากการคำนวณทางทฤษฎีด้วยสมการสถานะแบบอ่อน เมื่อการคำนวณโดยไม่รวมศักย์ของเคออน-นิวเคลียน ( $K^+N$ ) ลงในสมการสถานะแบบอ่อน ซึ่งจะทำให้ได้ว่าผลการคำนวณโดยไม่รวมศักย์ของเคออน-นิวเคลียน ( $K^+N$ ) จะทำให้เกิดอนุภาค  $K^+$  เกิดขึ้นมากและเห็นได้ชัดว่าผลการคำนวณมีค่าสูงกว่าการคำนวณโดยรวมศักย์ของเคออน-นิวเคลียน ( $K^+N$ ) แต่การคำนวณโดยการรวมศักย์เคออน-นิวเคลียนของ Brown กับ Rho ของเคออนที่เกิดขึ้นทำให้ไม่มีผลตั้มส่วนของสเปกตรัมมีค่าลดลง ด้วยเหตุนี้จึงทำให้ผลการคำนวณโดยรวมศักย์ของเคออน-นิวเคลียน ( $K^+N$ ) มีแนวโน้มที่จะลดคล่องกับผลการทดลองของ KaoS [30]



ภาพ 33 การคำนวณภาคตัดขวางของการเกิด  $K^+$  เทียบกับพลังงานจลน์ ( $E_{c.m.}$ ) จากปฏิกริยาการชนของ  $^{197}_{79} \text{Au} + ^{197}_{79} \text{Au}$  ที่พลังงาน  $1.5 \text{ A GeV}$  ที่มุมเชิงช้า  $q_{c.m.} = 90^\circ \pm 10^\circ$  โดยสัญลักษณ์วงกลมที่บีบแสดงผลการทดลองของ KaoS [30] เทียบกับสัญลักษณ์สามเหลี่ยมหงายแสดงผลการคำนวณโดยใช้สมการสถานะแบบอ่อนโดยรวมศักย์ของเคออน-นิวเคลียน ( $K^+N$ ) และสัญลักษณ์สามเหลี่ยมครึ่งแสดงผลการคำนวณโดยใช้สมการสถานะแบบแข็งโดยรวมศักย์ของเคออน-นิวเคลียน ( $K^+N$ )

จากภาพ 33 เป็นการคำนวณภาคตัดขวางของการเกิดอนุภาค  $K^+$  เทียบกับพลังงานจลน์  $E_{c.m.}$  (GeV) จากปฏิกริยาการชนของ  $^{197}_{79}\text{Au} + ^{197}_{79}\text{Au}$  ที่พลังงาน 1.5 A GeV โดยกำหนดค่าพารามิเตอร์ตักษะทบทำสุด ( $b_{min} = 9.40 \text{ fm}$ ) และค่าพารามิเตอร์ตักษะทบทบสูงสุด ( $b_{max} = 13.29 \text{ fm}$ ) ที่มุมเชิงชี้  $q_{c.m.} = 90^\circ \pm 10^\circ$  ผลจากการคำนวณทางทฤษฎีด้วยสมการสถานะแบบอ่อน จะมีค่าใกล้เคียงกับสมการสถานะแบบแข็ง เมื่อเพิ่มการคำนวณศักย์ของเคอ่อน-นิวเคลียน ( $K^+N$ ) ลงในสมการสถานะแบบอ่อน และสมการสถานะแบบแข็ง ซึ่งจะทำให้ผลการคำนวณทางทฤษฎีมีแนวโน้มที่จะสอดคล้องกับผลการทดลองที่ได้จากห้องปฏิบัติการ KaoS [30]



ภาพ 34 การคำนวณภาคตัดขวางของการเกิด  $K^+$  เทียบกับพลังงานจลน์ ( $E_{c.m.}$ ) จากปฏิกริยาการชนของ  $^{197}_{79}\text{Au} + ^{197}_{79}\text{Au}$  ที่พลังงาน 1.5, 1.0 และ 0.8 A GeV ที่มุมเชิงชี้  $q_{c.m.} = 90^\circ \pm 10^\circ$  โดยสัญลักษณ์วงกลมทึบ สามเหลี่ยมทึบ และข้าวหลามตัดทึบ แสดงผลการทดลองของ KaoS [30] เทียบกับสัญลักษณ์วงกลมโปร่ง สามเหลี่ยมโปร่ง และข้าวหลามตัดโปร่ง แสดงผลการคำนวณโดยใช้สมการสถานะแบบอ่อนโดยรวมศักย์ของเคอ่อน-นิวเคลียน ( $K^+N$ )

จากภาพ 34 เป็นการคำนวณภาคตัดขวางของการเกิดอนุภาค  $K^+$  เทียบกับพลังงานจลน์  $E_{c.m.}$  (GeV) จากปฏิกรณ์การชนของ  $^{197}_{79}\text{Au} + ^{197}_{79}\text{Au}$  ที่พลังงาน  $1.5 \quad 1.0 \quad$  และ  $0.8$  A GeV โดยกำหนดค่าพารามิเตอร์ตักษะทบทำสุด ( $b_{min} = 9.40$  fm) และค่าพารามิเตอร์ตักษะทบทสูงสุด ( $b_{max} = 13.29$  fm) ที่มุมเชิงข้าว  $q_{c.m.} = 90^\circ \pm 10^\circ$  ผลจากการคำนวณทางทฤษฎีด้วยสมการสถานะแบบอ่อน เมื่อเพิ่มการคำนวณศักย์ของเคออน-นิวเคลียร์ ( $K^+N$ ) ในแต่ละพลังงาน ลงในสมการสถานะแบบอ่อน จะพบว่าการคำนวณโดยการรวมศักย์เคออน-นิวเคลียร์ของ Brown กับ Rho ของเคออนที่เกิดขึ้นทำให้มีเมนตัมส่วนของสเปกตรัมมีค่าลดลง ด้วยเหตุนี้ จึงทำให้ผลการคำนวณโดยรวมศักย์ของเคออน-นิวเคลียร์ ( $K^+N$ ) มีแนวโน้มที่จะสอดคล้องกับผลการทดลองของ KaoS [30]

